

Стохастические методы прогнозирования

(краткий конспект без доказательств)

Александр Михайлович Шурыгин,
МГУ, ВМиК,
a.shurygin@bk.ru

1. Аналитические основы

Проблема оценивания

Пусть $x \in X \subseteq \mathbf{R}^1$ имеет плотность распределения $f := f(x, \theta)$, зависящую от неизвестного параметра θ . Нам надо найти оценку $\hat{\theta}$ параметра θ по выборке независимых наблюдений x_1, \dots, x_n .

Основы прикладной статистики

- Метод наименьших квадратов (**K.Gauss**, 1794-1795)
- **Оценки максимума правдоподобия** (ОМП) (**R.Fisher**, 1912) $\theta_0 : \sum_{i=1}^n \frac{\partial}{\partial \theta} \log f(x_i, \theta) |_{\theta=\theta_0} = 0$
Их недостатки: ►
- **A.N.Колмогоров** (1950): «ОМП не универсальны»
- **J.W.Tukey** (1960): ► ОМП «катастрофически неустойчивы» к малым изменениям п.р.!

► Оценки минимума контраста (ОМК)

(V.P. Godambe 1960, J.Pfanzagle 1969)

- Функция контраста: $\rho(x, \theta), \hat{\theta} : \sum_{i=1}^n \rho(x_i, \hat{\theta}) \rightarrow \min$
- Оценочная функция: $\psi(x, \theta) = c \frac{\partial}{\partial \theta} \rho(x, \theta), c \neq 0,$
- ОМК**

$$\hat{\theta} : \sum \psi(x_i, \hat{\theta}) = 0.$$

- Условие состоятельности: $E \psi(x, \theta) = 0. \quad (1)$
- Асимптотическая дисперсия:

$$V(f, \psi) = \lim_{n \rightarrow \infty} E n (\hat{\theta} - \theta)^2 = E \psi^2 / (E \dot{\psi})^2. \quad (2)$$

где $\psi := \psi(x, \theta)$ и $\dot{\psi} := \frac{\partial}{\partial \theta} \psi(x, \theta).$

Пример Тьюки

П.р. $f(y) = (1 - \varepsilon)\varphi(y) + \varepsilon\varphi(y/3)/3$, где $y = x - \mu$,
а $\varphi(y) = (2\pi)^{-1/2} e^{-y^2/2}$ - п.р. $N(0,1)$.

Для среднего оценочная функция $\psi(y) = y$, \Rightarrow

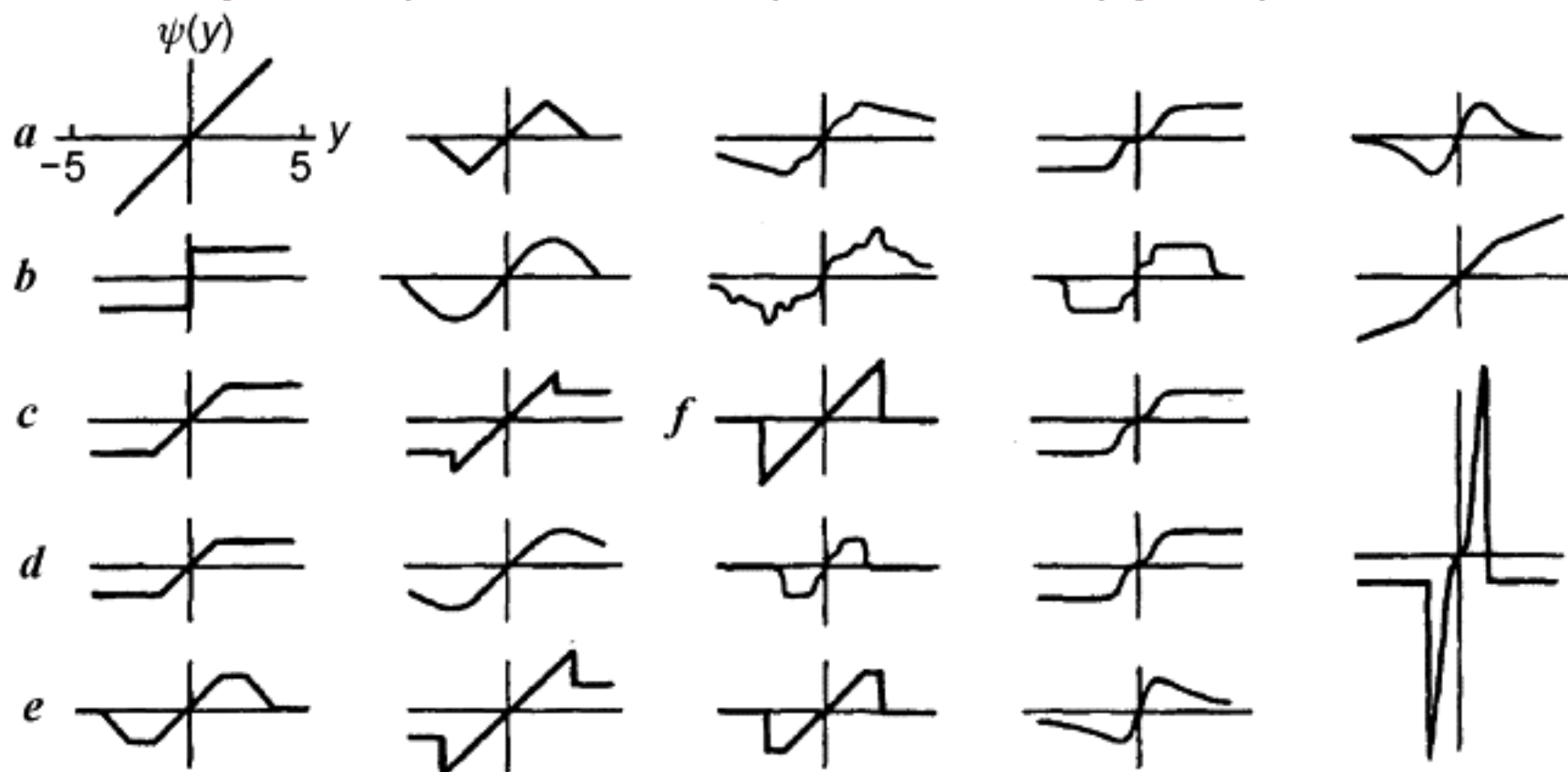
$\psi = -1$, $E\psi = -1$, $(E\psi)^2 = 1$ - это знаменатель в (2).

$$\begin{aligned} E\psi^2(y) &= (1 - \varepsilon) \int_{\mathbb{R}^1} y^2 \varphi(y) dy + \varepsilon \int_{\mathbb{R}^1} y^2 \left[\frac{1}{3} \varphi\left(\frac{y}{3}\right) \right] dy = \\ &= (1 - \varepsilon) + 9\varepsilon \int_{\mathbb{R}^1} \left(\frac{y}{3}\right)^2 \varphi\left(\frac{y}{3}\right) d\left(\frac{y}{3}\right) = 1 - \varepsilon + 9\varepsilon = 1 + 8\varepsilon. \end{aligned}$$

Это числитель в (2). Получаем: $V(f, \psi) = 1 + 8\varepsilon$.

При $\varepsilon = 1/8$ дисперсия удваивается !

Теория робастности: поиск устойчивой оценки центра распределения $N(0, 1)$ моделированием точечного загрязнения в Принстонском университете. Оценочные функции:



► Много устойчивых ОМК было найдено теоретически и эмпирически в Принстонском эксперименте. **Их недостатки:**

- Все оценки зависят от неоцениваемых параметров (дисперсии, степени загрязнения), так что каждая из них является семейством оценок. Хьюбер и Хампель подбирали константы для распределения $N(0,1)$.
- Не только центр нормального распределения, но и другие параметры различных распределений следует устойчиво оценивать.
- Авторы ищут устойчивые оценки, не имея определения устойчивости.
- Надо искать устойчивость к неизбежному отклонению реальной п.р. от модельной. ►

Функциональная оптимизация

Для функции $y(x)$ величина $|dy/dx|$ - хорошая мера неустойчивости y по отношению к варациям x .

По аналогии используем производную **Лагранжа**

$$W(f, \psi) = \frac{\partial}{\partial f} V(f, \psi) = \left(\int_X \psi^2 dx \right) / (\mathbb{E} \psi)^2 \quad (3)$$

как меру неустойчивости дисперсии оценки при вариациях п.р. f .

Функция ψ определена до умножения на ненулевую константу c , и если

$$c = (\mathbb{E} \psi)^{-1} \quad (4),$$

тогда

$$W(f, \psi) = \int_X \psi^2 dx.$$

Теорема. При выполнении условий (1) и (4) для квадратичной по ψ функции $Q(\psi, f)$ функционал

$$G(\psi) = \int_X [Q(\psi, f) + \lambda_0 \psi f + \lambda_1^* \dot{\psi} f] dx$$

► достигает минимума на функции

$$\psi(x, \theta) = \frac{\partial}{\partial \psi} Q(\psi, f) + \lambda_0 f + \lambda_1 \dot{f}.$$

Приложив теорему к функционалу (3), получим, что неустойчивость W достигает минимума W_* на оценочной функции

$$\psi_*(x, \theta) = \frac{\partial}{\partial \theta} f(x, \theta) + \beta f(x, \theta), \quad \beta : E \psi_* = 0.$$

Соответствующую оценку θ_* назовём **оценкой максимальной устойчивости (ОМУ)**.

► Эффективность

$V(f, \psi)$ – положительная мера неэффективности, достигающая минимума V_0 на ОМП.

Эффективность $\text{eff } \hat{\theta} = V_0/V(f, \psi)$

На квадрате $[\text{eff } \hat{\theta}, \text{stb } \hat{\theta}]$

Условно оптимальные

$$\psi_\gamma = c \left(\frac{\partial}{\partial \theta} \ln f + \beta \right) / (1 + \gamma/f), \quad \beta : E \psi_\gamma = 0$$

где γ зависит от соотношений между $\text{eff } \theta_\gamma$ и $\text{stb } \theta_\gamma$

Компромиссные θ_c со свойствами:

$$\gamma = V_0/W_* : \left(\text{eff } \hat{\theta} \right)^{-1} + \left(\text{stb } \hat{\theta} \right)^{-1} \rightarrow \min$$

- **Радикальные** θ_r , у которых $\text{eff } \theta_r \approx \text{stb } \theta_r$, и

Устойчивость

$W(f, \psi)$ – положительная мера неустойчивости, достигающая минимума W_* на ОМУ.

Устойчивость $\text{stb } \hat{\theta} = W_*/W(f, \psi)$

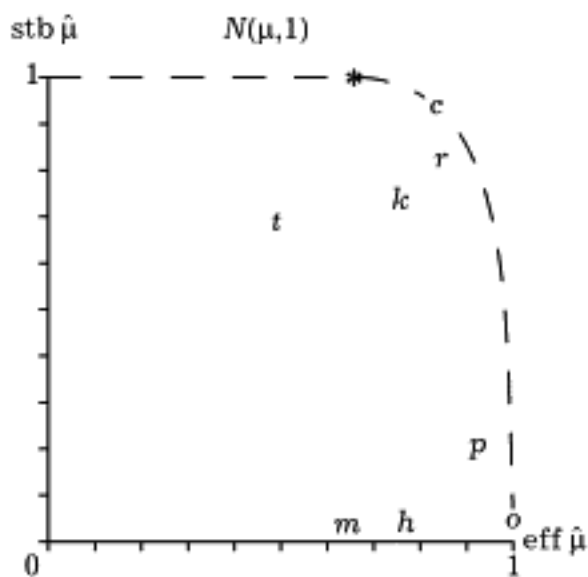
интересны такие оценки.

θ_γ с оценочной функцией

$$\psi_r = c \left(\frac{\partial}{\partial \theta} \ln f + \beta \right) \sqrt{f}$$

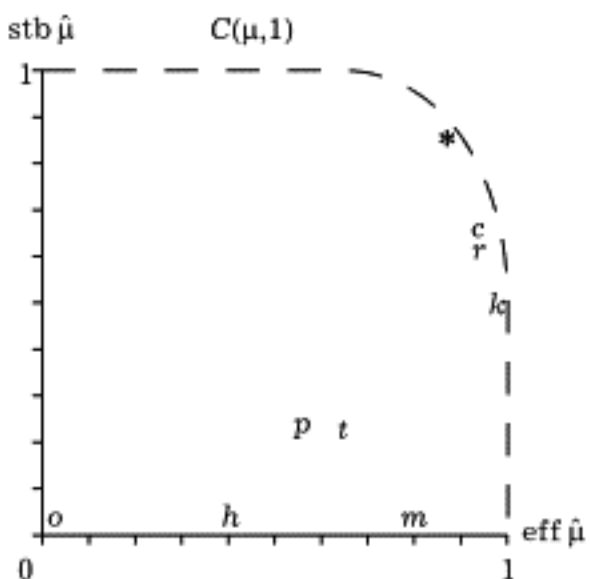
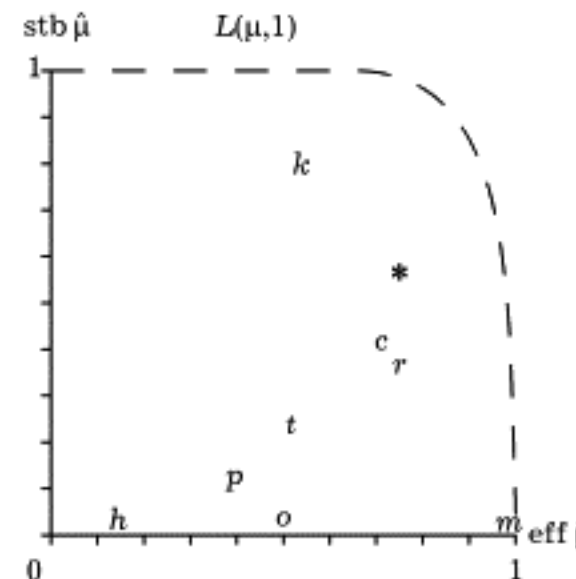
$$\psi_r = c \left(\frac{\partial}{\partial \theta} \ln f + \beta \right) \sqrt{f}$$





Обозначение оценок

- \circ – ОМП (среднее)
- m – медиана
- k – ОМП для распределения Коши
- t – оценка Тьюки
- h – оценка Хьюбера
- p – оценка Хампеля
- * – ОМУ
- c – компромиссная
- r – радикальная
- Прерывистая линия – условно оптимальные оценки ►



► Радикальность оценок

Функционал $R(f, \psi) = \left(\int_X \psi^2(x, \theta) \sqrt{f(x, \theta)} dx \right) / (\mathbb{E} \psi(x, \theta))^2$
достигает минимума R_* на радикальной оценке.

Радикальность оценки $\text{rad } \hat{\theta} = R_*/R(f, \psi)$ -
удобная мера полезности в приложениях: ►

$\hat{\mu}$	μ_r	μ_c	μ_k	μ_*	μ_h	μ_p	μ_m	μ_0
$\text{rad } \hat{\mu}$	1	.99	.97	.91	.88	.85	.83	.65

Можно видеть, что ОМП распределения Коши μ_k
мажорирует робастные оценки μ_h и μ_p ; а медиана
 μ_m лучше, чем ОМП.

Мультипликативные помехи

встречаются гораздо чаще, чем аддитивные.
Все положительные величины их имеют.

Пусть x_1, \dots, x_{2n} , $y_i = x_{2i} | x_{2i+1}| / c$, $c : E y^2 = 1$.

Оцениваем моделированием $Ey (= 0)$ и асимптотическую дисперсию $V(\mu)$ для разных оценок μ :

μ :	μ_0	μ_m	μ_*	μ_r
$V(\mu)$:	1,01	0,29	0,37	0,45.

Видно явное преимущество медианы и отставание ОМП.

2. Многомерное нормальное распределение $N_p(\mathbf{m}, \mathbf{C})$

Для $\mathbf{x} = (x^{(1)}, \dots, x^{(p)})^T \in N_p(\mathbf{m}, \mathbf{C})$, $\mathbf{C} = \mathbf{C}^T$, $|\mathbf{C}| > 0$, вектор математических ожиданий $\mathbf{m} = E\mathbf{x}$, матрица ковариаций $\mathbf{C} = \{c_{ij}\} = E[(\mathbf{x} - \mathbf{m})(\mathbf{x} - \mathbf{m})^T]$, корреляция $x^{(i)}$ и $x^{(j)}$ $r_{ij} = c_{ij} / \sqrt{c_{ii}c_{jj}}$, $-1 < r < 1$. При $-1 < r < 0$ увеличение одного признака ведёт к уменьшению другого, при $0 < r < 1$ оба признака изменяются вместе. Поверхности равных плотностей – эллипсоиды, их оси называются главными компонентами

Устойчивые оценки многомерного распределения

- Все одномерные определения переносятся на многомерный случай автоматически.
- Оценки **Мешалкина** \mathbf{m}_λ и \mathbf{C}_λ единственные устойчивые из предложенных. Они могут быть получены из следующей системы уравнений:

$$\begin{cases} \sum (\mathbf{x}_i - \mathbf{m}_\lambda) e^{-\lambda q_i^2 / 2} = 0, \\ \sum [(\mathbf{x}_i - \mathbf{m}_\lambda)(\mathbf{x}_i - \mathbf{m}_\lambda)^T - (1 + \lambda)^{-1} \mathbf{C}_\lambda] e^{-\lambda q_i^2 / 2} = 0, \end{cases}$$

где $q_i^2 = (\mathbf{x}_i - \mathbf{m}_\lambda)^T \mathbf{C}_\lambda^{-1} (\mathbf{x}_i - \mathbf{m}_\lambda)$. (5)

Первое уравнение – вектор, второе – матрица.

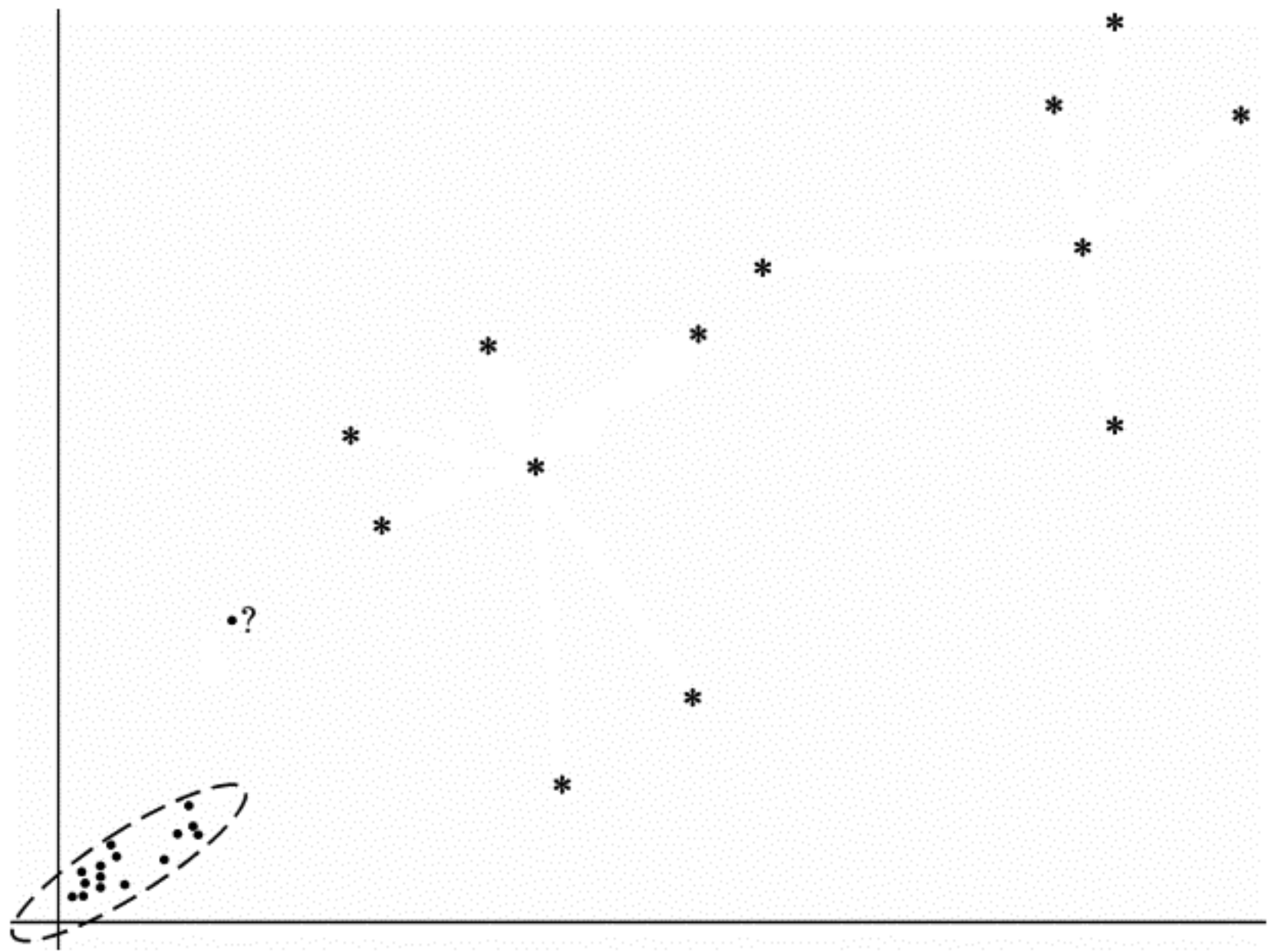
- При $\lambda = 1/2$ получаем **радикальные оценки** $\mathbf{m}_r, \mathbf{C}_r$.
- Если выборка содержит несколько кластеров, то в процессе итераций оценка \mathbf{m}_r сходится к центру большего из них, а матрица \mathbf{C}_r оценивает его ковариацию.

Для проверки однородности выборки предлагается следующий **кластер-тест**:

$$K_\lambda = \frac{1}{np} \sum (\mathbf{x}_i - \mathbf{m}_\lambda)^T \mathbf{C}_\lambda^{-1} (\mathbf{x}_i - \mathbf{m}_\lambda). \quad \blacktriangleright$$

- Если элементы выборки имеют нормальное распределение (то есть выборка однородна), то

$$\sqrt{np} \ln K_\lambda \xrightarrow{d} N \left(0, \frac{(2+4\lambda+(p+2)\lambda^2)(1+\lambda)^{p+2}}{(1+2\lambda)^{p/2+2}} - 2 \right).$$



Кластер-алгоритм

Количество кластеров? Уровень значимости α :

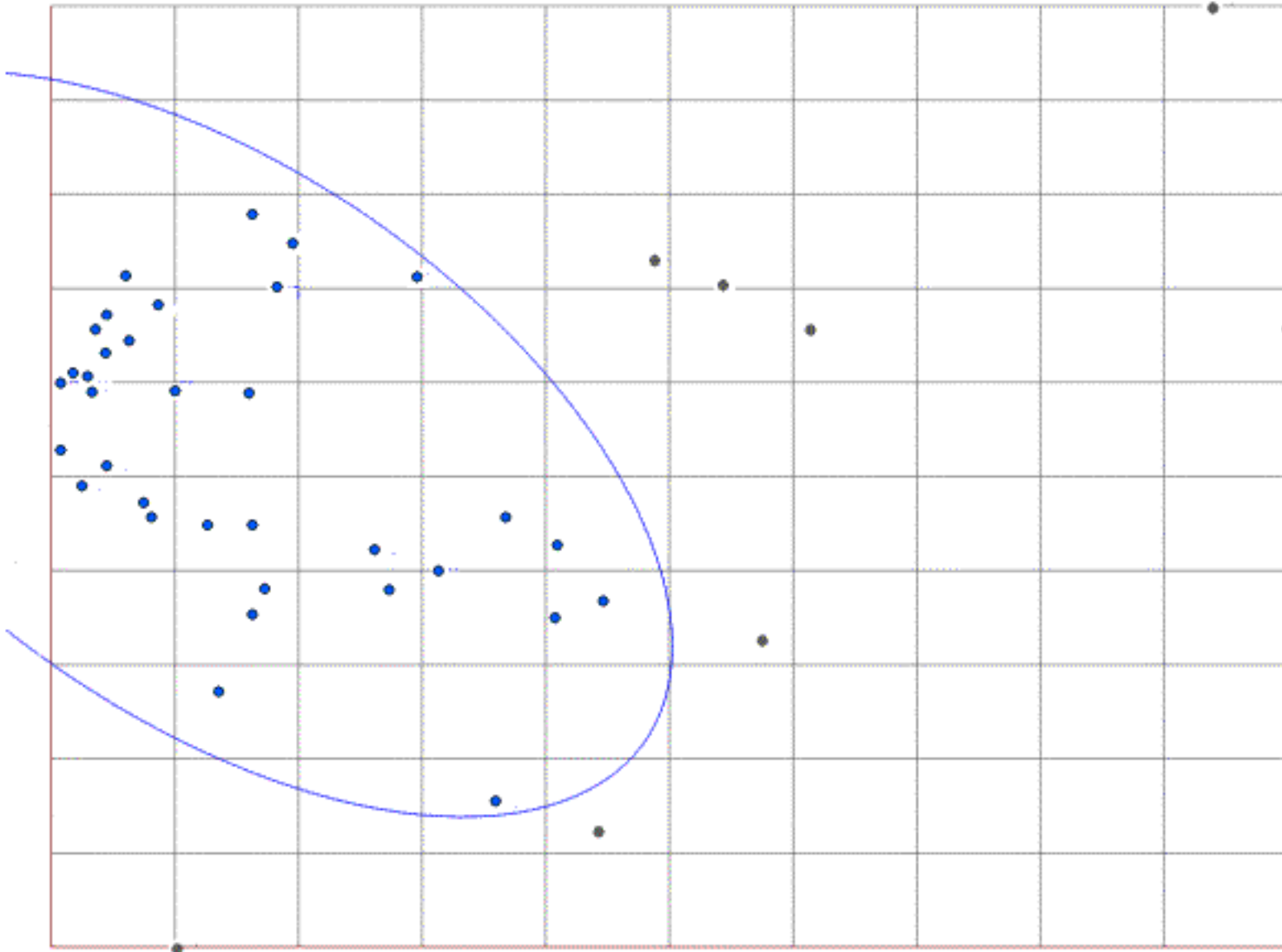
$$P\{\sqrt{(\mathbf{x} - \boldsymbol{\mu})^T \mathbf{C}^{-1} (\mathbf{x} - \boldsymbol{\mu})} < a_p\} = 1 - \alpha. \text{ Для } \mathbf{y} \in N_p(0, I)$$

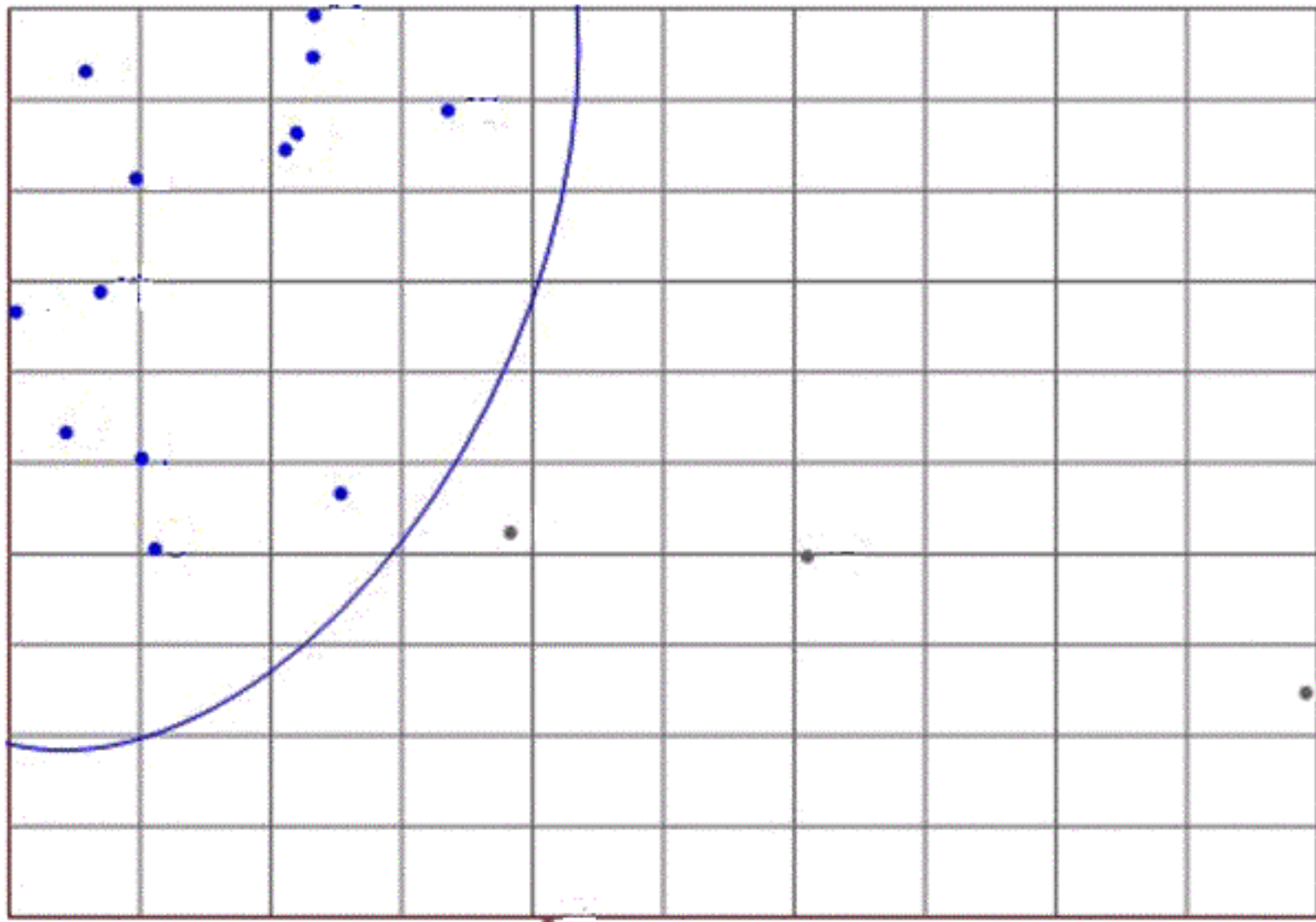
$$1 - \alpha = (2\pi)^{-p/2} \int_0^{b_p} S_p(r) e^{-r^2/2} dr = (2\pi)^{-p/2} S_p(1) \int_0^{b_p} r^{p-1} e^{-r^2/2} dr.$$

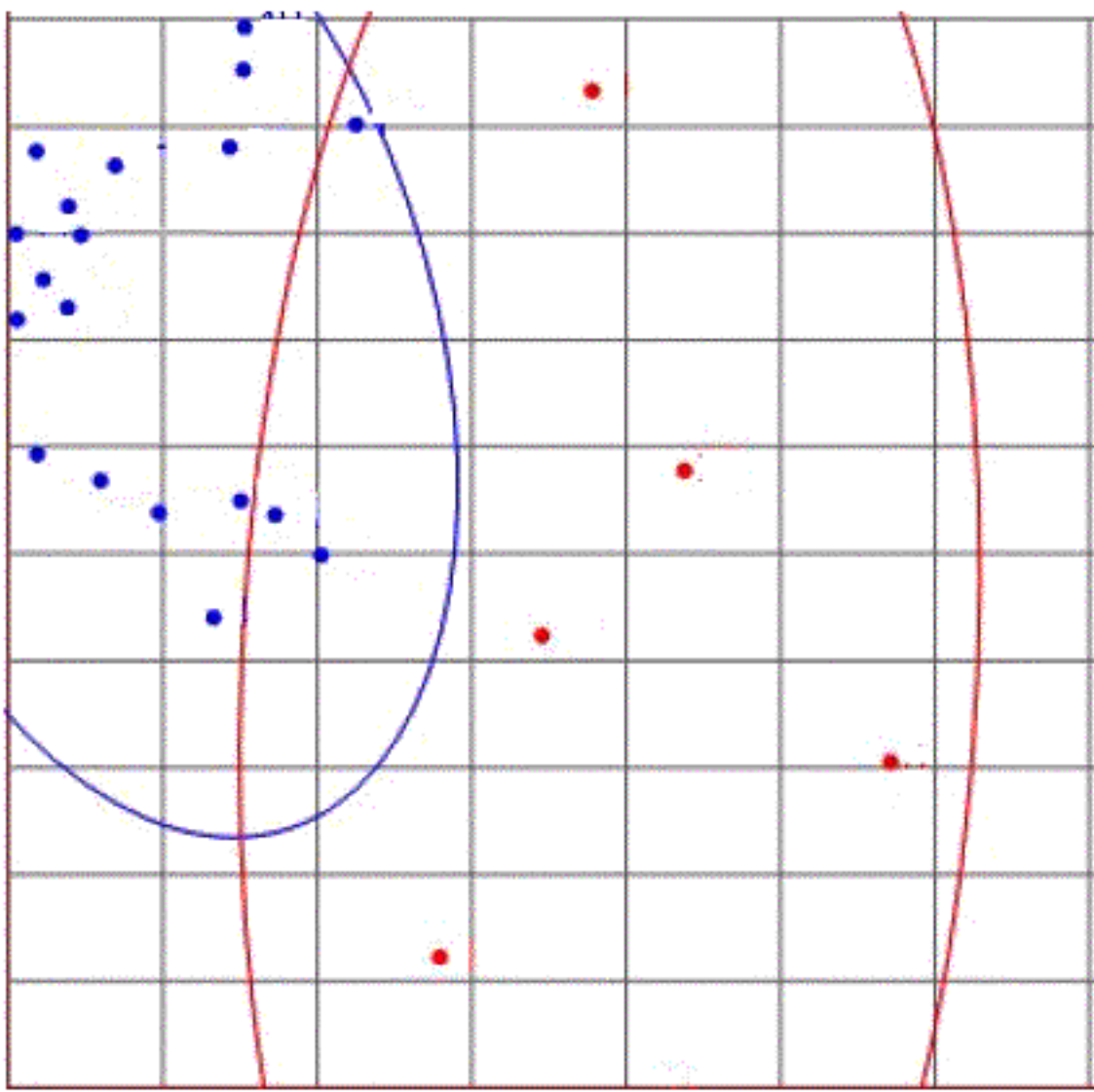
Известно: $S_p(1) = 2\pi^{p/2} / \Gamma(p/2)$

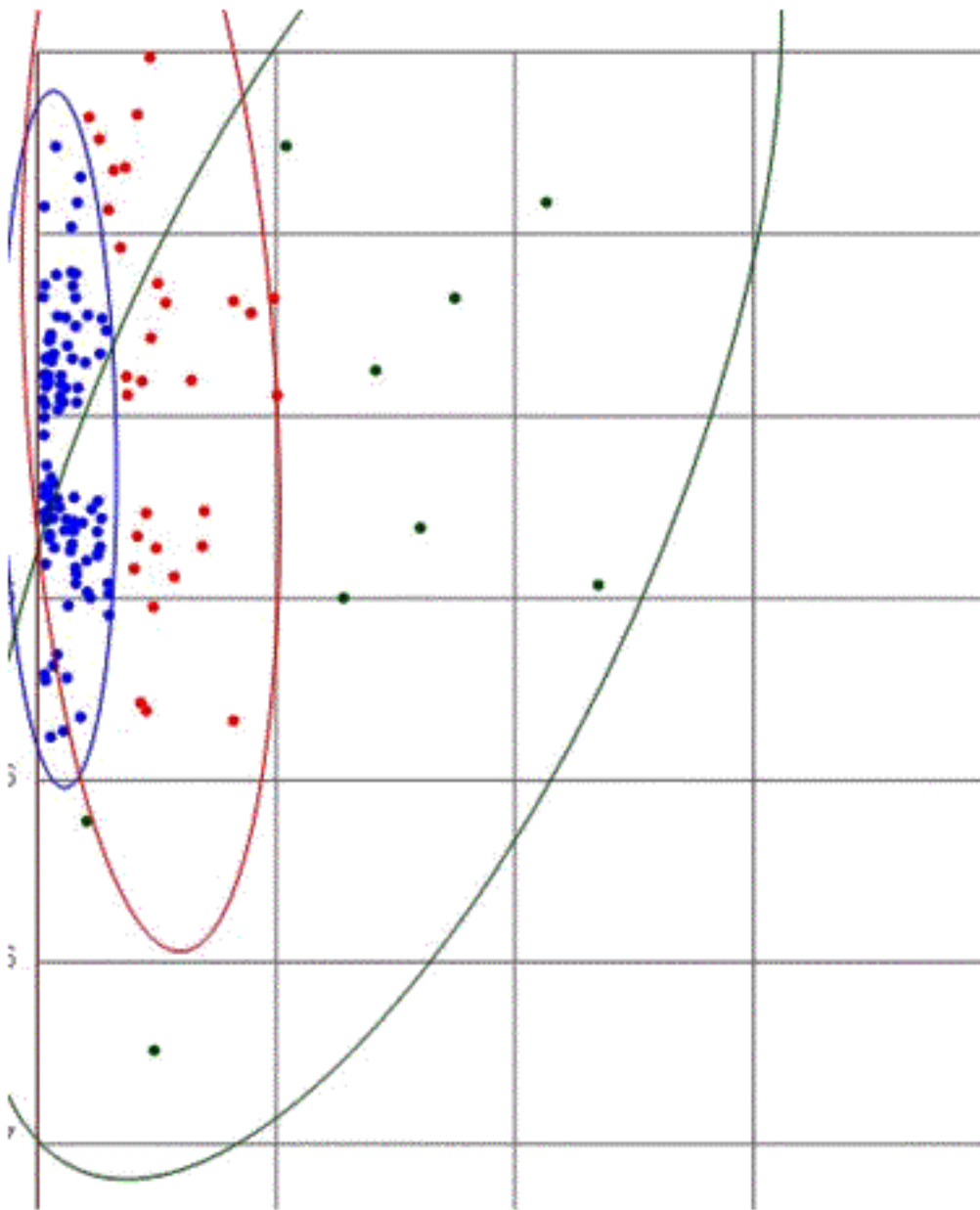
$$1 - \alpha = \frac{1}{2^{p/2-1}} \int_0^{b_p} r^{p-1} e^{-r^2/2} dr / \Gamma(p/2).$$

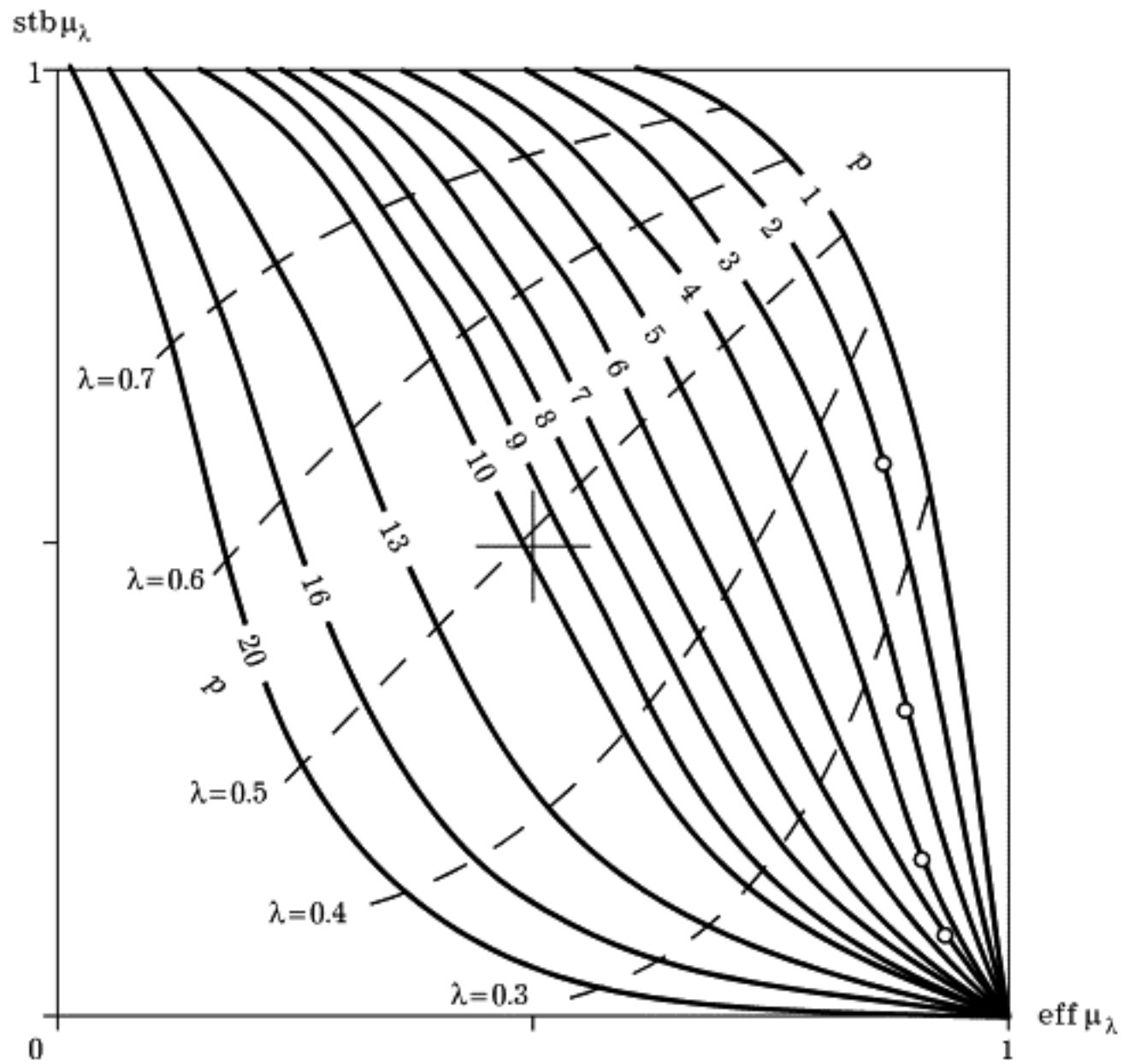
$$P\{\sqrt{\mathbf{y}^T \mathbf{y}} < b_p\} = 1 - \alpha \Rightarrow a_p \approx b_p.$$











Многомерная выборочная медиана

- В одномерном случае выборочная медиана μ_m имеет оценочную функцию

$$\psi(x - \mu_m) = \operatorname{sgn}(x - \mu_m) = (x - \mu_m) / |x - \mu_m|$$

и является решением уравнения

$$\mu_m = (\sum x_i / |x_i - \mu_m|) / (\sum 1 / |x_i - \mu_m|).$$

Решение не изменится, если модули заменить нормированными расстояниями от центра q_i (5).
Получим уравнение для многомерного случая:

$$\mathbf{m}_m = \frac{\sum \mathbf{x}_i / q_i}{\sum 1 / q_i}.$$

Условное многомерное распределение

Центрируем случайный нормальный вектор \mathbf{x} , введя $\mathbf{y} = \mathbf{x} - E\mathbf{x}$, разобьём его на два вектора и соответственно разобьём матрицу ковариаций \mathbf{C} :

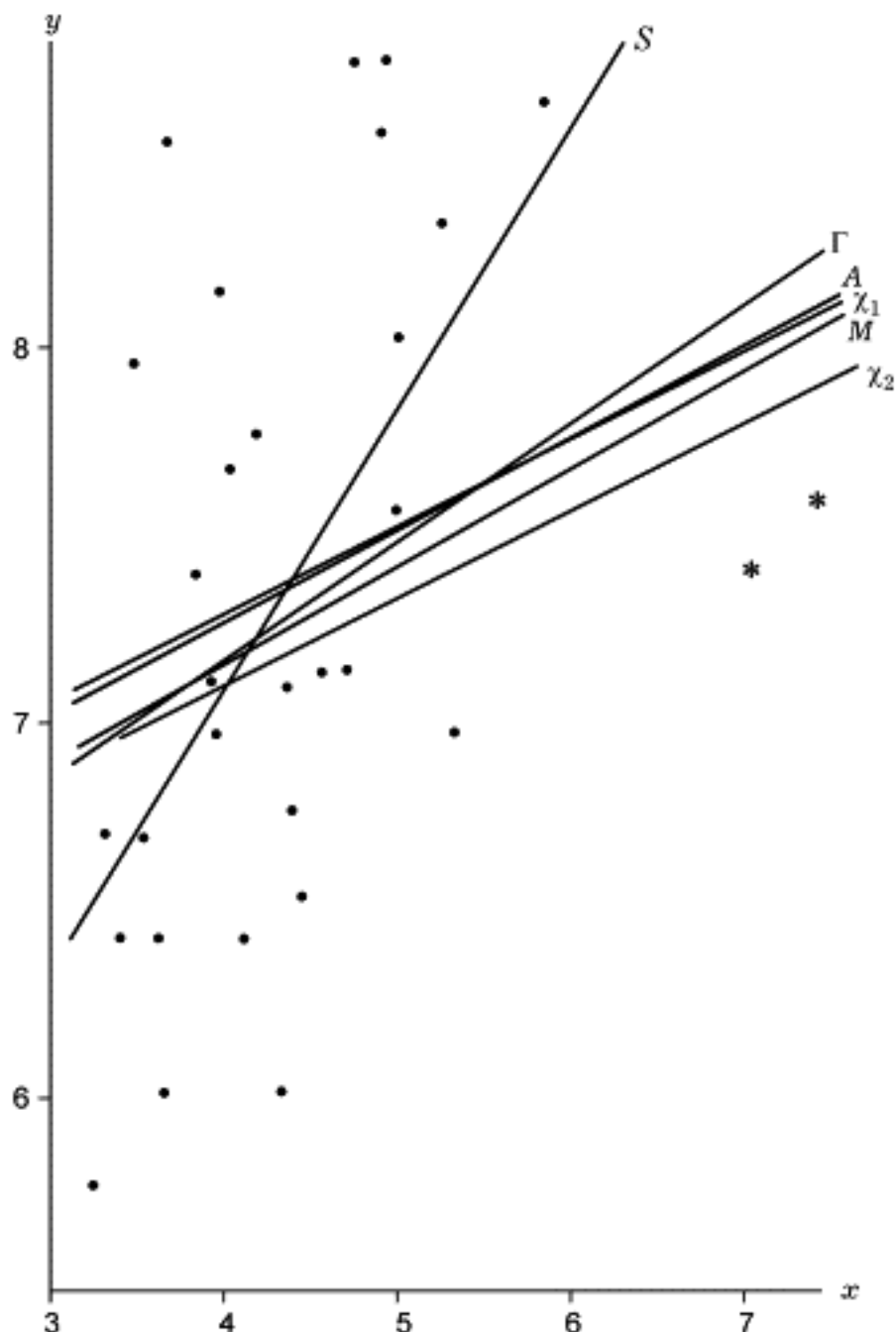
$$\mathbf{y} = \begin{pmatrix} \mathbf{y}_1 \\ \mathbf{y}_2 \end{pmatrix}, \quad \mathbf{C} = \begin{pmatrix} \mathbf{C}_{11} & \mathbf{C}_{12} \\ \mathbf{C}_{21} & \mathbf{C}_{22} \end{pmatrix}.$$

Если компоненты вектора \mathbf{y}_2 фиксированы (известны), то известно и условное распределение компонент вектора \mathbf{y}_1 (**Андерсон**):

$$\boxed{\mathbf{y}_1 \mid \mathbf{y}_2 \in N(\mathbf{C}_{12}\mathbf{C}_{22}^{-1}\mathbf{y}_2, \mathbf{C}_{11} - \mathbf{C}_{12}\mathbf{C}_{22}^{-1}\mathbf{C}_{21})}. \quad (6)$$

3. Регрессионный прогноз

- Отклик $y_i = r(\mathbf{x}_i, \Theta) + \varepsilon_i \in \mathbf{R}^1$, $i = 1, \dots, n$,
предикторы $\mathbf{x}_i = (x_i^{(1)}, \dots, x_i^{(p-1)})^T \in \mathbf{R}^{p-1}$,
остатки $\varepsilon_i \in N(0, \sigma^2)$, функция регрессии $r(\cdot)$,
её параметры $\Theta = (\theta_1, \dots, \theta_q)^T$, $\hat{\Theta} = ?$
- Классика: наименьшие квадраты $\sum \varepsilon_i^2 \rightarrow \min.$
- Робастность: оценки центра $\sum \rho(\mathbf{x}_i, \hat{\Theta}) \rightarrow \min.$
- Все эти регрессии неустойчивы.
- Радикальная по оценочной вектор-функции
$$\Psi_r(\mathbf{z}, \Theta) = \mathbf{C} \left[\frac{\partial}{\partial \Theta} \ln f(\mathbf{z}, \Theta) \right] \sqrt{f(\mathbf{z}, \Theta)},$$
где $f(\cdot)$ - п.р. вектора $\mathbf{z} = (\mathbf{x}^T, y)^T.$ ►



- – observations
- * – artificial contaminations

Regressions notation:

- Γ – classic
- A – Andrews'
- χ_1, χ_2 – Huber's
- M – Meshalkin's
- S – radical

► Квадратичная ошибка оценки параметров:

$$R = \lim nE \left[r(\mathbf{x}_0, \hat{\Theta}) - r(\mathbf{x}_0, \Theta) \right]^2 = \\ = \text{tr} \left[(\mathbf{E}rr^T) \mathbf{H} (\mathbf{E}\Psi\Psi^T) \mathbf{H}^T \right] \quad \mathbf{H}^{-1} = \mathbf{E}\dot{\Psi},$$

- **Выбор модели** Квадратичная ошибка предсказания для нового наблюдения \mathbf{x}_0 является суммой «модельной» дисперсии σ^2 и квадратичной ошибки за счёт оценки параметров. Минимизируя их сумму

$$s^2 = \sigma^2 + R/n \rightarrow \min, \quad (7)$$

мы найдём подходящую функцию регрессии. $r(\mathbf{x}, \Theta)$. Как и в многомерной статистике, эффективность и устойчивость оценок снижается при росте размерности. Так что полезно уменьшать размерность.

Простейшие регрессии

Полиномиальная степени p на отрезке.

Функция регрессии $r(\mathbf{x}, \Theta) = \sum_{j=0}^p \theta_j x^j$, $j = 0, \dots, p$.

Оценочная функция $\psi_j = x^j \varepsilon \exp(-\lambda \varepsilon^2 / 2\sigma^2)$,

$\lambda = 0 \rightarrow$ ОМП, $\lambda = 1/2 \rightarrow$ радик., $\lambda = 1 \rightarrow$ макс. устойч.

Линейная на куб с равном. распред. $\mathbf{x} = (x^{(1)}, \dots, x^{(p)})^\top$

$$r(\mathbf{x}, \Theta) = \theta_0 + \sum_{j=1}^p \theta_j x^{(j)}, \quad \begin{cases} \psi_0 = \varepsilon \exp(-\lambda \varepsilon^2 / 2\sigma^2), \\ \psi_{j>0} = x^{(j)} \varepsilon \exp(-\lambda \varepsilon^2 / 2\sigma^2), \end{cases}$$

Линейная на нормальное распределение $N_p(\mathbf{m}, \mathbf{C})$

$$r(\mathbf{x}, \Theta) = \quad \begin{cases} \psi_0 = \varepsilon \exp(-\lambda [\varepsilon^2 / \sigma^2 + q^2] / 2), \\ = \theta_0 + \sum_{j=1}^p \theta_j x^{(j)}, \quad \psi_{j>0} = x^{(j)} \varepsilon \exp(-\lambda [\varepsilon^2 / \sigma^2 + q^2] / 2). \end{cases}$$

При больших размерностях всё ухудшается!

Редуцированная линейная регрессия

Решения ухудшаются, когда растёт размерность p . Потому что в многомерной статистике надо оценить $O(p^2)$ параметров, хотя для решения нам нужно только $O(p)$ параметров. Исключение признаков уменьшает информацию. Сведём задачу к последовательности двумерных задач.

- **Регрессия.** Пусть признаки $\mathbf{x} = (x^{(1)}, \dots, x^{(p-1)})^T$ упорядочены по «информативности». Рассмотрим последовательность двумерных задач, используя s^2
(7) для исключения неинформативных признаков:

$$\boxed{y = c_0 + c_1 x^{(1)} + \varepsilon^{(1)}, \quad \varepsilon^{(1)} = c_2 x^{(2)} + \varepsilon^{(2)}, \\ \dots, \varepsilon^{(p-2)} = c_{p-1} x^{(p-1)} + \varepsilon^{(p-1)} + c_p.}$$

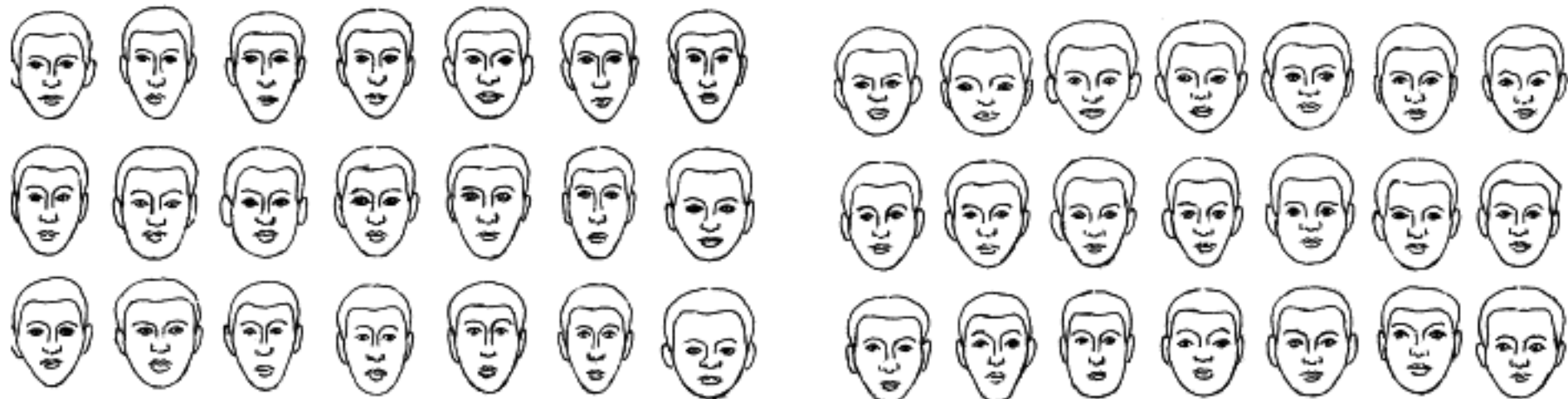
Редуцированная дискриминация

В \mathbf{R}^2 с признаками a и b есть два класса точек, разделяемых линейной дискриминантной функцией (ЛДФ), и $n(a, b)$ обозначение множества проекций точек на нормаль к ЛДФ. Упорядочим признаки $\mathbf{x} = (x^{(1)}, \dots, x^{(p)})^T$ по информативности и составим последовательность двумерных задач:

$$z_2 = n(x^{(1)}, x^{(2)}), z_3 = n(z_2, x^{(3)}), \dots, z_p = n(z_{p-1}, x^{(p)}).$$

Признак считается неинформативным, если он не уменьшает ошибку классификации. В результате получаем хорошую ЛДФ. В этой последовательности нормаль к ЛДФ качается по очереди к осям координат. Решение можно улучшить, повторив последовательность в цикле ([Колмогоров](#)).

Классификация «по портре́там»,
в которых параметры лица соответствуют
признакам объектов.



Сравнение методов дискриминации

В реальной геохимической задаче два класса, размерность $p=12$, количество точек $n_1=n_2 = 21=15$ (для обучения)+6(для экзамена);

- ошибок в «типичных» объектах m_t , в случайных - m_r
- Метод дискриминации

	m_t	m_r
1. Редукция в цикле	2	2
2. Редукция	2	3
3. Специалист по таблицам	2	3
4. Распознавание образов по Бонгарду	1	4
5. Распознавание «портретов»	2.5	3
6. ЛДФ с отбором признаков	2	4
7. То же в «независимых» блоках	2	4
8. ЛДФ Фишера	3	3
9. Квадратичная ДФ	4	3
10. ЛДФ Андерсона-Бахадура	4	4



4. Прогноз случайных функций

Случайные функции

Будем различать следующие их разновидности.

Случайный процесс $x_t, t \subseteq \mathbf{R}^1$.

Случайное поле $x_t, t \subseteq \mathbf{R}^p, p > 1$.

Аргументы функций (время, пространство) и ниже будут помещаться не в скобках, а в нижних индексах для компактности записей.

Рассмотрим два наиболее часто используемых типа таких процессов.

Стационарный случайный процесс (ССП)

определяется двумя равенствами:

$$\left\{ \begin{array}{l} \mathbb{E}x_t = \mu = \text{const}, \\ \mathbb{E}(x_s - \mu)(x_t - \mu) = \text{Cov}(x_s, x_t) = c_{|s-t|}. \end{array} \right.$$

Первое показывает, что траектории ССП имеют средний **уровень** μ , около него происходят колебания. Второе равенство указывает на стационарность этих колебаний: **ковариация** значений процесса зависит от расстояния между абсциссами и не зависит от сдвига по оси t .

Ковариационная функция c_τ чётная, достигает максимума, равного дисперсии процесса, при $\tau = 0$. Из чётности следует вещественность преобразования Фурье, дающее **спектральную плотность** (с.п.)

$$f(\omega) = \int_{\mathbf{R}^1} c_\tau e^{-i\omega\tau} d\tau = \int_{\mathbf{R}^1} c_\tau \cos(\omega\tau) d\tau,$$

здесь использовалась формула Эйлера:

$$e^{-iz} = \cos z - i \sin z.$$

С.п. – неотрицательная функция, определённая на \mathbf{R}_+ . Её интеграл ограничен дисперсией процесса:

$$\int_{\mathbf{R}_+} f(\omega) d\omega = c_0.$$

Иногда с.п. называют «энергетической плотностью».

Случайный процесс со стационарными приращениями (СПСП)

Колмогоров (1940):

$$\text{Cov}(x_s, x_t) = (v_{|s|} + v_{|t|} - v_{|s-t|})/2.$$

$$\begin{cases} \mathbb{E}(x_s - x_t) = 0, \\ \mathbb{E}(x_s - x_t)^2 = v_{|s-t|}. \end{cases}$$

За начальную точку может быть взята любая точка траектории. **Структурную функцию** v_τ удобно аппроксимировать степенной: $v_\tau = \omega^2 \tau^\gamma$, $0 \leq \gamma \leq 2$ (Яглом). Mandelbrot модель СПСП с такой аппроксимацией назвал **фрактальным броуновским движением**, величину $H = \gamma/2$ назвал показателем Харста и привёл эффектные примеры.

Локальные свойства СПСП (и ССП)

$$v_\tau = 2(c_0 - c_\tau)$$

$$c_\tau = c_0 - v_\tau / 2$$

$$\rho = 2^{\gamma-1} - 1.$$

Корреляция соседних приращений

Непрерывен в среднеквадратичном:

$$\lim_{s \rightarrow t} E(x_t - x_s)^2 = \lim_{s \rightarrow t} v_{|s-t|} = 0.$$

Дифференцируем в среднеквадратичном: $\rho_{s \rightarrow t} \rightarrow 1$.

Спрямляем в среднем: $\exists \lim_{m \rightarrow \infty} \sum_1^m E l_i$,

где l_i - длины звеньев аппроксимирующей ломаной.

$\gamma = 0$, $\rho = -1/2$ «белый шум» с дисперсией $\omega^2 / 2$, всюду разрывный,

$\gamma = 1$, $\rho = 0$ винеровский: непрерыв., не диф., не спрямляема,

$\gamma = 2$, $\rho = 1$ случайная прямая: непрер., диф., спрямляема

(при $(d/d\tau)v(\tau)|_{\tau=0} = 0$, $\vee (d/d\tau)c(\tau)|_{\tau=0} = 0$.)

Прогноз гауссовского ССП

$y_t = x_t - \mu$, шаг h , знаем: $y := (y_{nh}, \dots, y_h, y_0)$,
ковариационную функцию $c := (c_h, \dots, c_{nh}, c_{(n+1)h})$
следующего значения с известными предшествую-
щими, матрицу ковариаций $C = \{c_{ij}\}_{i,j=0}^n$
известных значений.

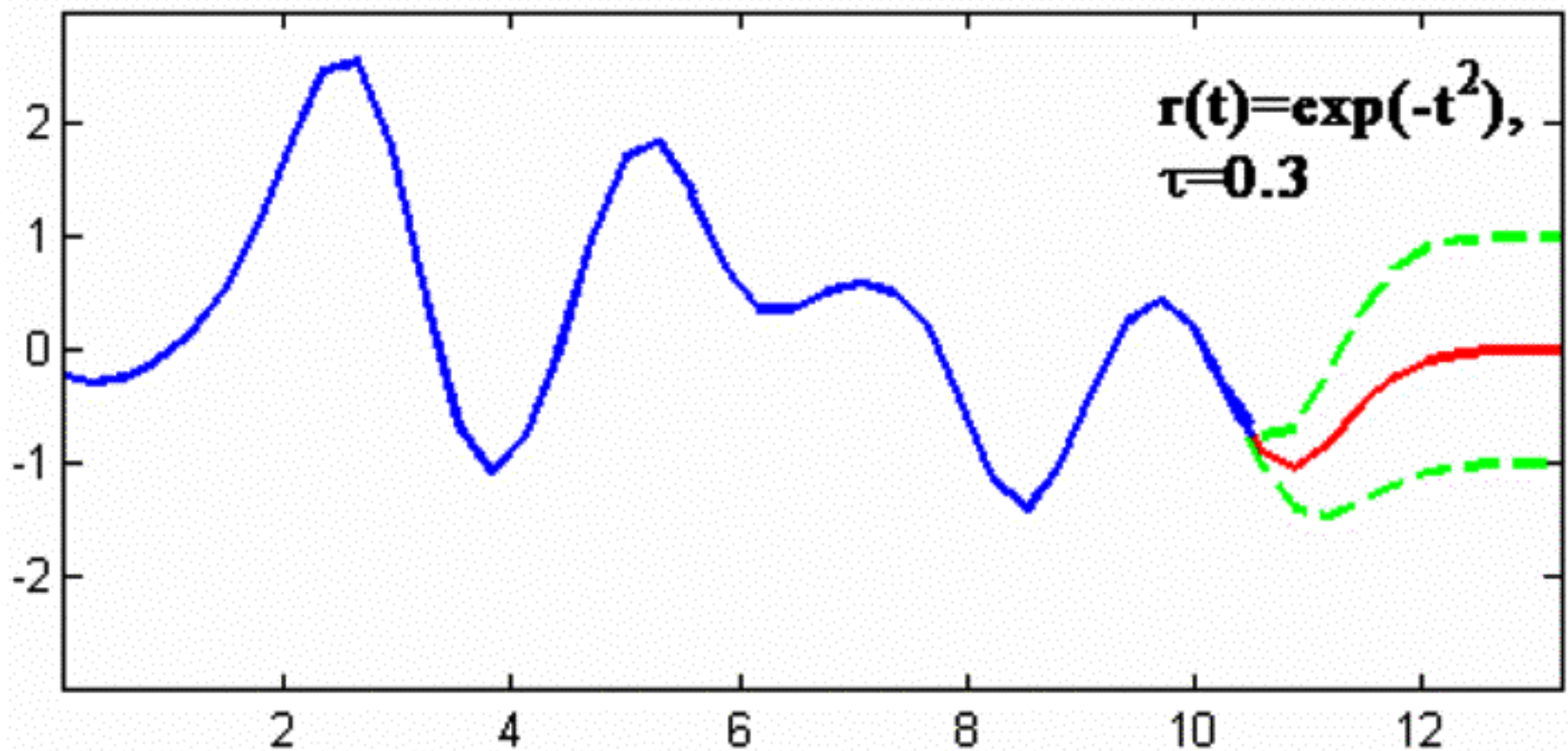
Надо найти следующее значение $y_{(n+1)h} = ?$.

По Андерсону (6):

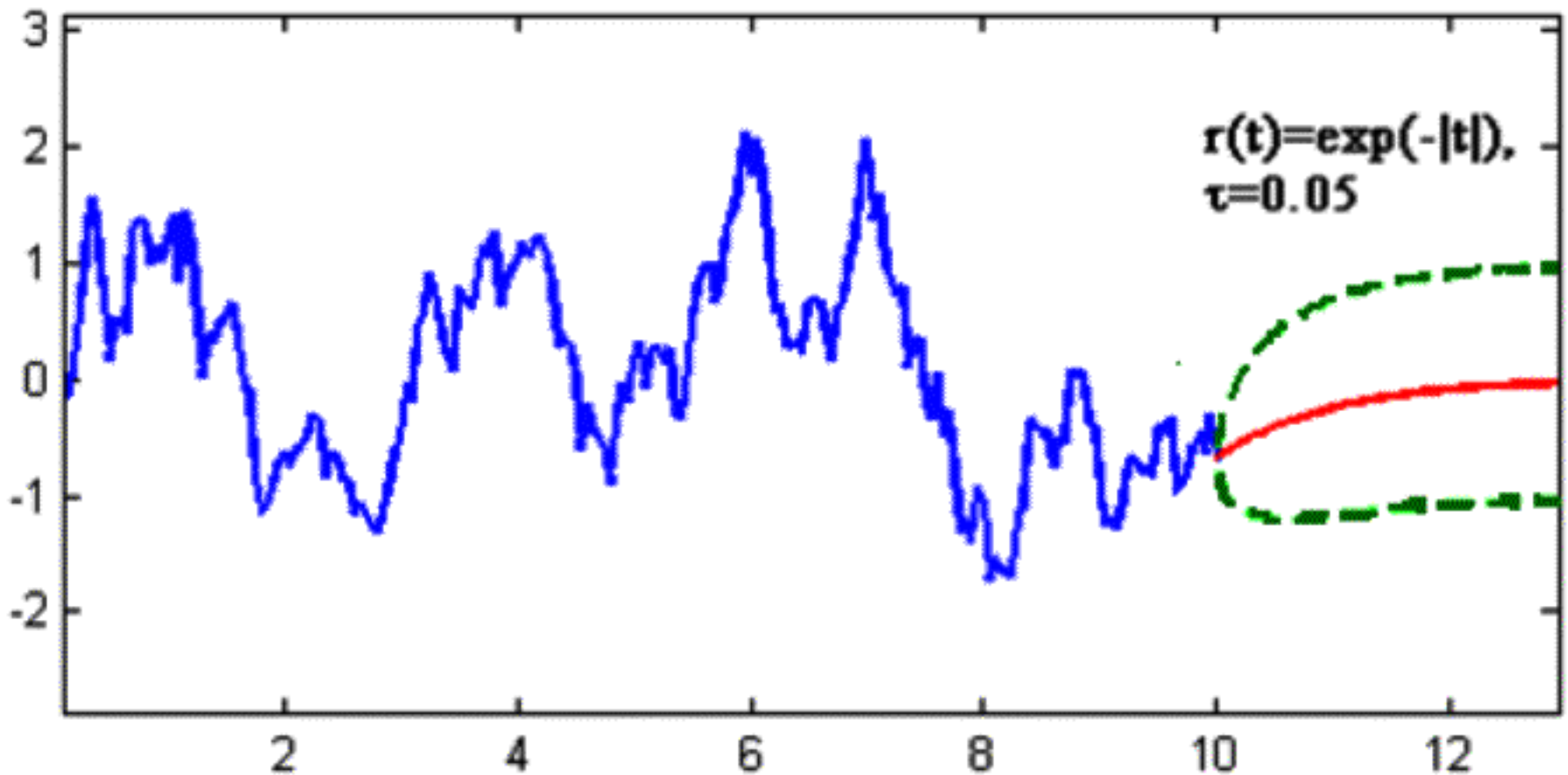
$$E(y_{(n+1)h} | y) = y C^{-1} c^T,$$

$$D(y_{(n+1)h} | y) = c_0 - c C^{-1} c^T.$$

Прогноз ССП



Прогноз ССП



Прогноз гауссовского СПСП

Приращения $\Delta_k = x_{(k+1)h} - x_{kh}$, в результате
 $(x_{nh}, x_{(n-1)h}, \dots, x_h, x_0) \rightarrow (\Delta_n, \dots, \Delta_1) =: \Delta$.

Ковариации приращений:

$$c_0 = v_h, \dots, c_k = v_{(k-1)h}/2 - v_{kh} + v_{(k+1)h}/2, \dots;$$

для фрактального броуновского движения

$$c_0 = \omega^2 h^\gamma, \dots, c_k = \omega^2 h^\gamma [(k-1)^\gamma / 2 - k^\gamma + (k+1)^\gamma / 2], \dots,$$

матрица $C = \{c_{ij}\}_{i,j=0}^{n-1}$,

ковариации с предыдущими $c := (c_1, \dots, c_n)$.

Прогноз по Андерсону (6)

$$E(\Delta_{n+1} | \Delta) = \Delta C^{-1} c^T,$$

$$D(\Delta_{n+1} | \Delta) = c_0 - c C^{-1} c^T.$$

Авторегрессия (AR)

Последовательность x_1, \dots, x_n , AR k-го порядка:

$$x_{n+1} = \sum_{n-k}^n h_{n-i} x_i + \varepsilon_{n+1}, \quad h_i \text{ коэффициенты, } \varepsilon_i \in N(0, \sigma^2)$$

независимы. Обратная задача: известен прогноз \hat{x}_0 ,
его дисперсия σ^2 , есть ли соответствующий СП?
СПСП не может быть, т.к. его приращения зависимы.
СПС не может быть по той же причине. Нужна AR с
зависимыми приращениями!

Система уравнений:

$$x_{n+1} = \sum_i (a_{n-i} x_i + b_{n-i} y_i) + \varepsilon_{n+1},$$

$$y_{n+1} = \sum_i (c_{n-i} x_i + d_{n-i} y_i) + \varepsilon_{n+1}^*,$$

Нобелевская премия
2004 года по экономике.

Изотропное случайное поле

Пусть в области $Q \subset \mathbf{R}^2$ имеется случайная функция x_t , вектор $t \in Q$. В сечениях поля будут СП x_t . Если их вероятностные характеристики совпадают, **поля изотропно**. Для рассмотренных ССП и СПСП будут:

$$\begin{cases} E x_t = \mu, \\ \text{Cov}(x_s, x_t) = c_{\|s-t\|}; \end{cases}$$

$$\begin{cases} E(x_s - x_t) = 0, \\ E(x_s - x_t)^2 = v_{\|s-t\|}. \end{cases}$$

Поле, имеющее сечениями винеровские процессы, называется **полем Леви**. Мандельброт...

Условный случайный процесс (УСП) и подсчёт запасов (ПЗ) рудных месторождений

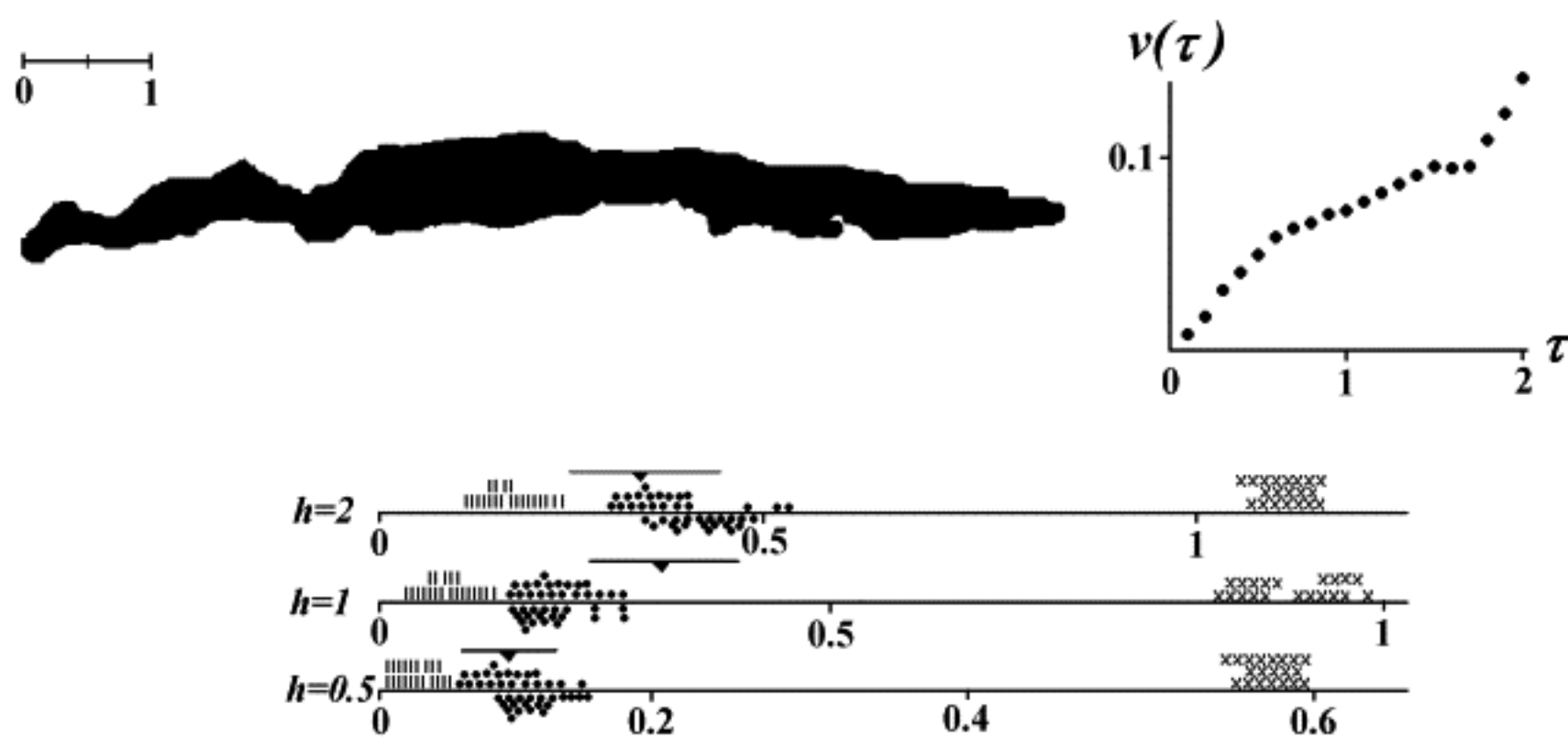
- На отрезке T концентрация x_t , линейные запасы $w = \int_0^T x_t dt$ надо оценить по пробам с ошибками u_i , $Du_i = \sigma_i^2$ известны.

Традиционный способ: линейная интерполяция,
Погрешность по статистике: $D\bar{x} = Dx / n$.

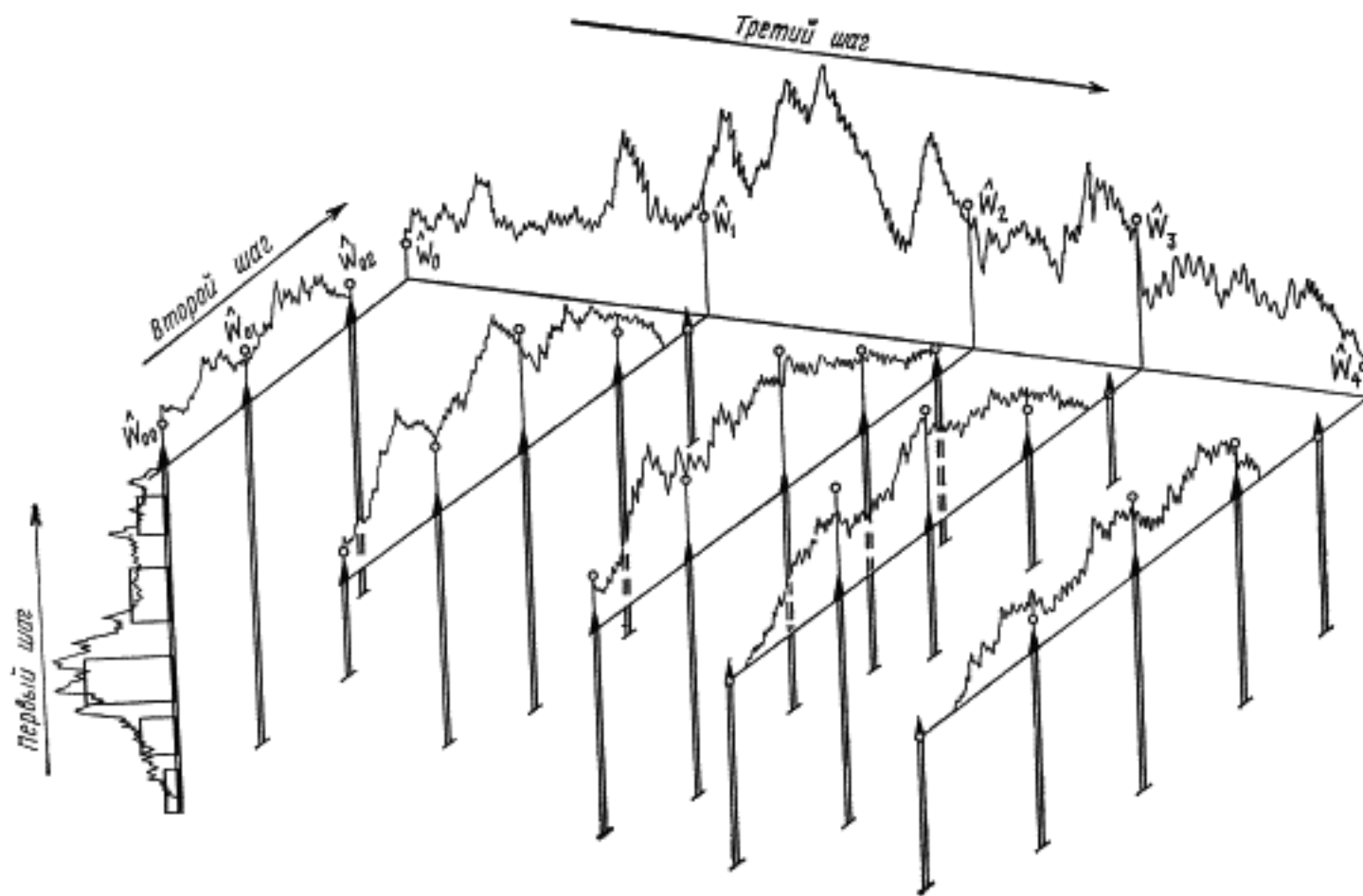
Численное интегрирование гладких функций...

УСП: в точках опробования СП имеет известные (фиксированные) значения (см. «Условное многомерное нормальное распределение»).

Оценки погрешности подсчёта площади рудной жилы по имитации разведки: | численного интегрирования, x-традиционные, точки внизу – условный винеровский процесс, точки вверху – условный СПСП. Над осями доверительные интервалы.

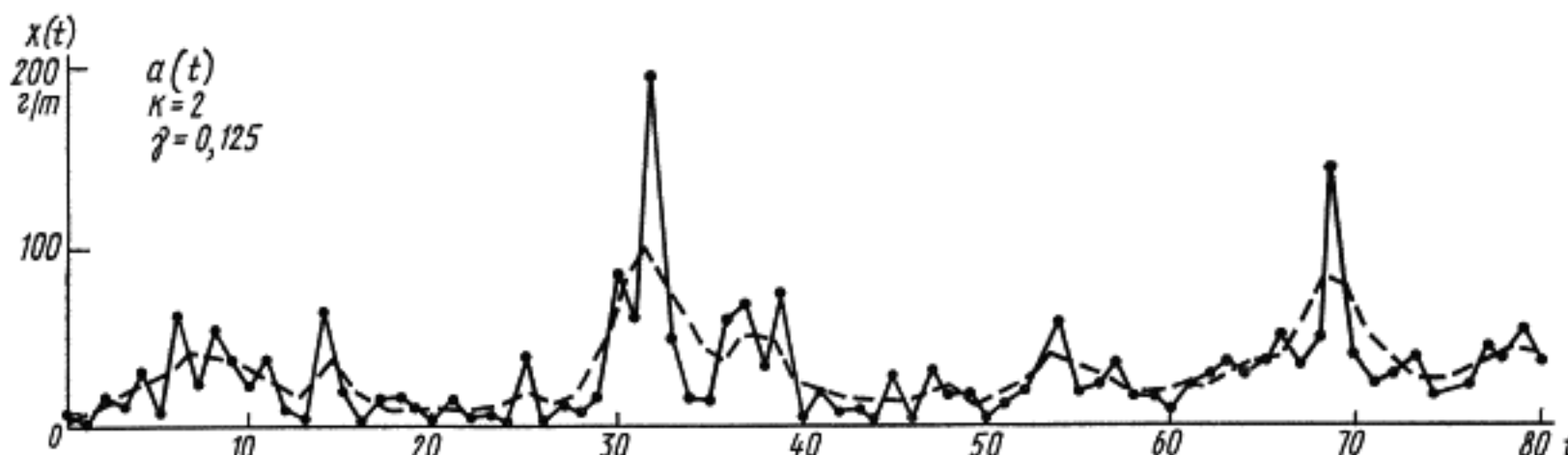


Подсчёт запасов в объёме месторождения, разведанного профилиями скважин



Проблема ураганных проб. Концентрации x_t многих руд распределены резко асимметрично, и ПЗ по среднему даёт завышенные значения, хотя среднее является несмещённой оценкой мат. ожидания.

Пусть $x_t = \exp y_t$, а y_t - ССП и $Ey_t = \mu$. Тогда траектории УСП между фиксированными точками будут выгнуты вниз, если они выше e^μ , и вверх, если они ниже. В месторождении концентрации аномальны по сравнение с фоновыми, поэтому интеграл по УСП будет меньше, чем даст линейная интерполяция.



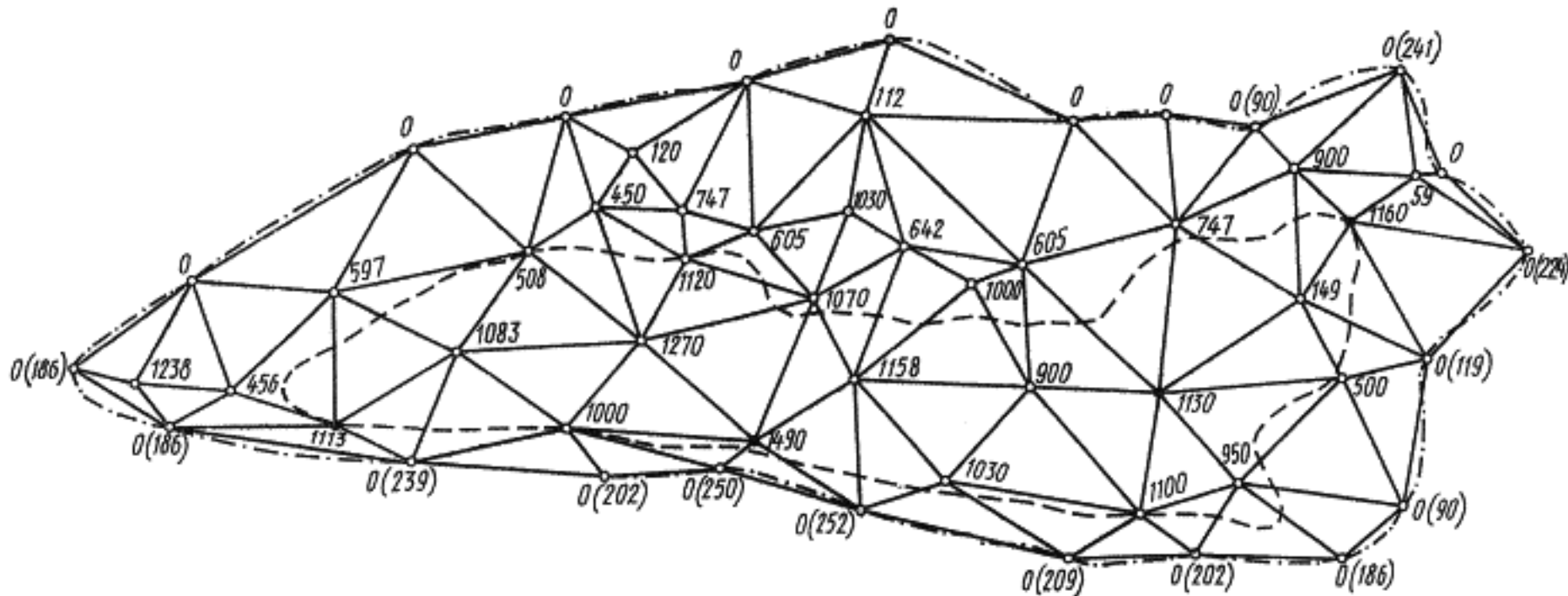
Условное случайное поле и ПЗ нефте-газовых месторождений

Скважины располагаются не по профилям, надо рассматривать плоское поле $Q \ni t$, обычно x_t - поле Леви, параметр которого определяется по межскважинным разностям. Разбив Q на треугольники, по возможности изометричные, получаем мозаику условных полей, каждое из них определяется скважинами в вершинах треугольника, одну из которых можно принять за начальную, и решать задачу при известных значениях в двух других численно по формулам условного многомерного распределения.

Газовое месторождение, разбитое на треугольники.

Подсчёт запасов (в млрд. кубометров):

традиционный метод	2,25,
метод УСП	2,52,
ср.кв. оценка погрешности 4%,	
реальные запасы	2,54.



Выбор шага наблюдений («дисперсия» Аллана)

Если в наблюдаемом процессе z_t на низкочастотный сигнал с амплитудой ν наложен «белый шум» с дисперсией $\omega^2 / 2$, то при шаге наблюдений τ

$$E(\Delta z_\tau)^2 = \nu^2 \tau^2 / 2 + \omega^2.$$

Разделив эту функцию на τ , получим функцию

$$E(\Delta z_\tau)^2 / \tau = \nu^2 \tau / 2 + \omega^2 / \tau =: a_\tau.$$

Эта функция достигает минимума по τ при таком значении τ_* , при котором дисперсии приращений сигнала и «белого шума» равны.

Выбор количества слагаемых при разложении функции

Гладкая функция $f(x)$ наблюдается в точках $X = \{x_0, \dots, x_n\}$ с помехами: вместо $f_i := f(x_i)$ фиксируются $y_i = f_i + \varepsilon_i$, помехи ε_i одинаково распределены, нормальны и независимы. Ломаная $y(X)$ аппроксимируется суммой ортогональных полиномов $g_j(X)$: $y(X) = \sum_{j=0}^{\infty} a_j g_j(X)$. Остановиться, если

- 1) оценки дисперсии «остатков» d_i $s_1^2 = \sum(d_i - \bar{d})^2 / n$ и $s_2^2 = \sum_{i=0}^{n-1} (d_i - d_{i+1})^2 / (2n)$ примерно равны,
- 2) корреляция соседних остатков равна $-1/2$.

5. Прогноз точечных полей

Поля зависимых точек

В приложениях часто ищут п.р. зависимых точек. Пусть x и x^* имеют п.р. $f(x) \equiv f(x^*)$ и между ними действует сила $\xi(x - x^*)$. В условии равновесия $g(x) = \int_{\mathbb{R}^1} \xi(x - x^*) f(x^*) dx^* = f * f \equiv 0$ - свёртка. Преобразование Фурье F превращает свёртку в произведение: $F(g(x)) = F(\xi(x))F(f(x)) \equiv 0$. Противоречие: либо $\xi(x) \equiv 0$, либо $f(x) \equiv 0$. n зависимых точек могут иметь п.р. в выборочном пространстве \mathbb{R}^n .

Распределение межточечных расстояний (МТР)

Выборка $x_1, \dots, x_n \in Q \subset \mathbf{R}^p$, $r_{\alpha\beta} = \|x_\alpha - x_\beta\| \in (0, \rho]$,
их $m = C_n^2 = n(n-1)/2$. Разделим $[0, \rho]$ точками
 $\rho_0 = 0 < \rho_1 < \dots < \rho_k = \rho$ на k интервалов. Пусть m_i -
количество МТР, для которых $\rho_{i-1} < r < \rho_i$, а
 $\delta_i = P\{\rho_{i-1} < r < \rho_i\}$ при равномерном распределении
 x в Q . Последовательность

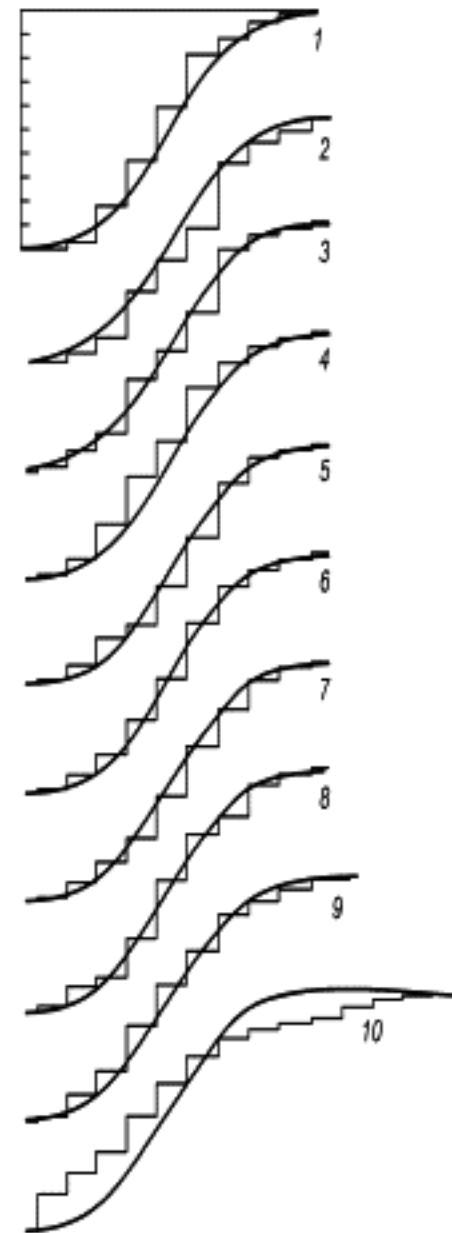
$$g_i := m_i / (\delta_i m), \quad i = 1, \dots, k$$

будет гистограммой МТР, нормированной равномер-
ным распределением. Очевидно, $E m_i = \delta_i m$. $D m_i = ?$

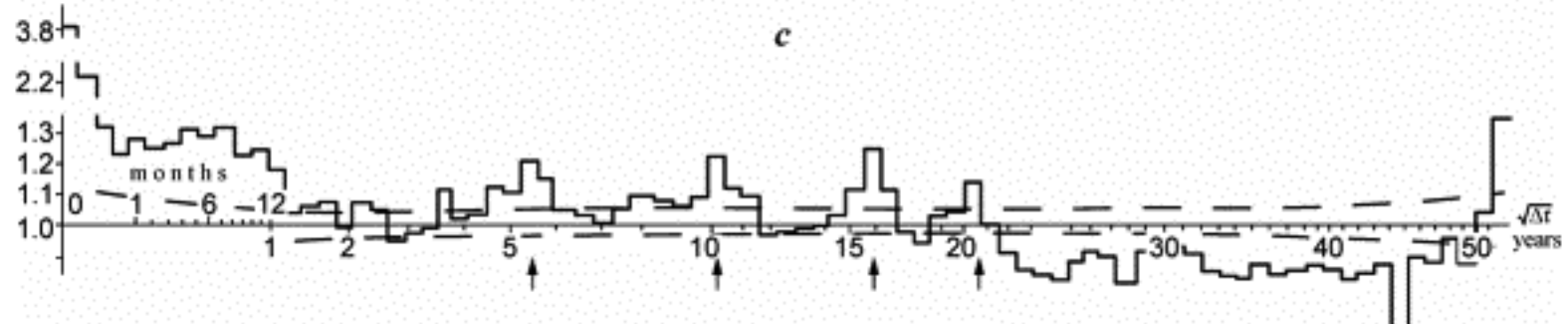
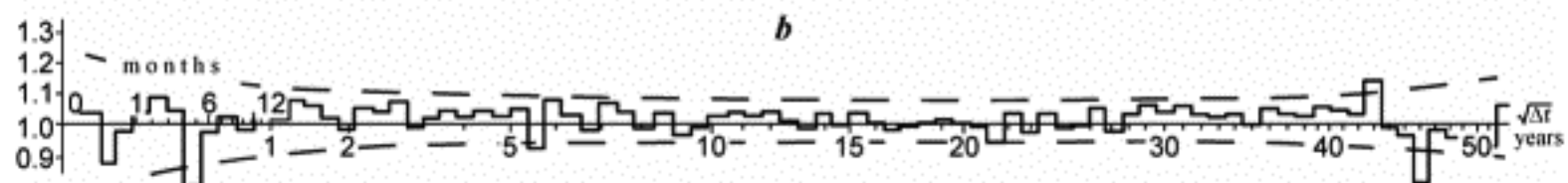
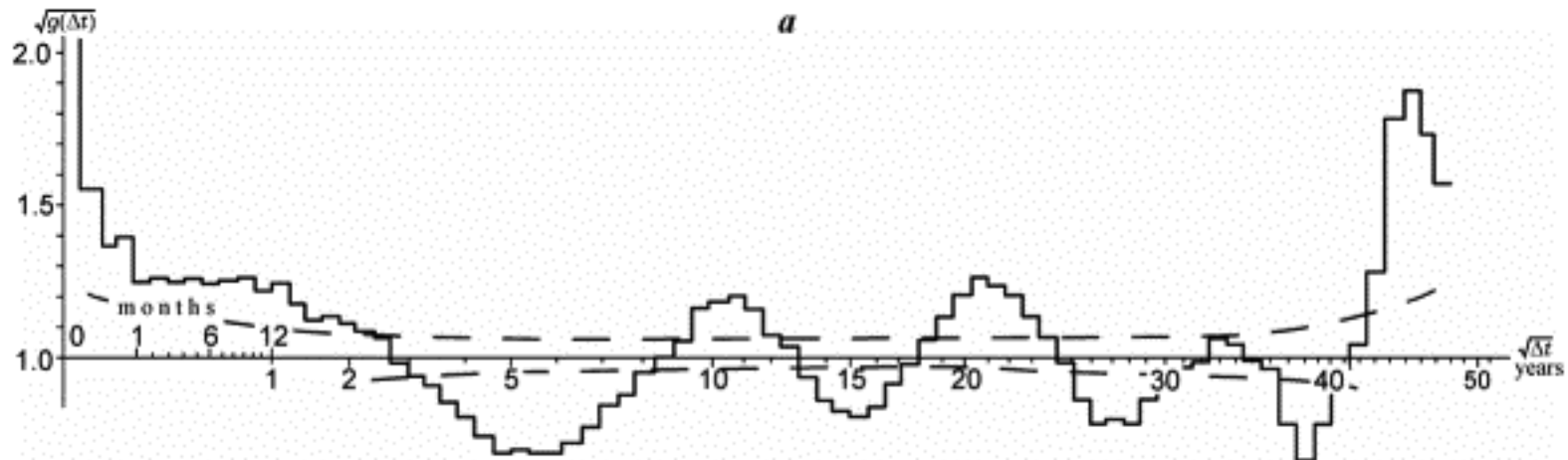
Теорема. Пусть $\mathbf{x}_1, \dots, \mathbf{x}_n \in Q \subset \mathbf{R}^p$,
 $p \geq 1$, имеют в Q распределение,
 абсолютно непрерывное относительно
 меры Лебега. Тогда МТР между ними
 асимптотически ($n \rightarrow \infty$) попарно
 независимы (и при зависимых точках).

$$n = 10 \Rightarrow$$

Следствие. Если для всех i
 $\delta_i = cn^{-1-\zeta} \rightarrow 0$, $0 < \zeta < 1$, то при равно-
 мерном распределении \mathbf{x} в Q вектор из
 величин $b_i := (m_i - \delta_i m) / \sqrt{\delta_i(1 - \delta_i)m}$
 имеет предельным распределением
 $N_k(0, I)$.



Функции g (и доверительный интервал)
для солнечных вспышек,
глубокофокусных и нормальных землетрясений



Распределение со стационарными расстояниями (PCPc)

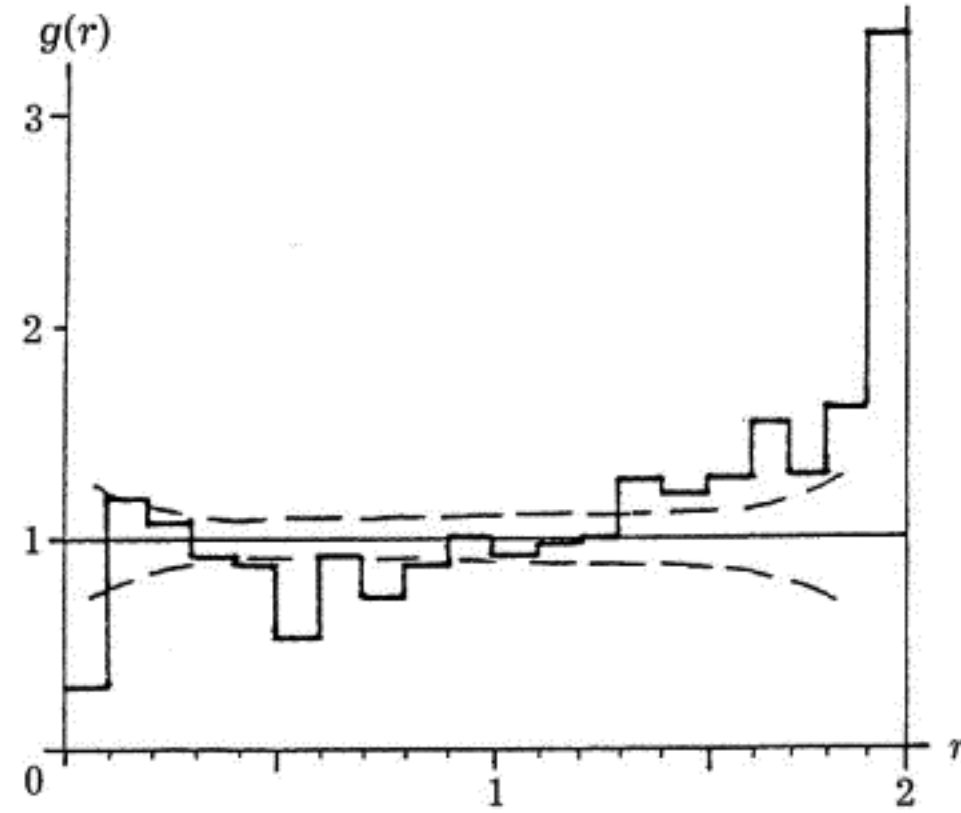
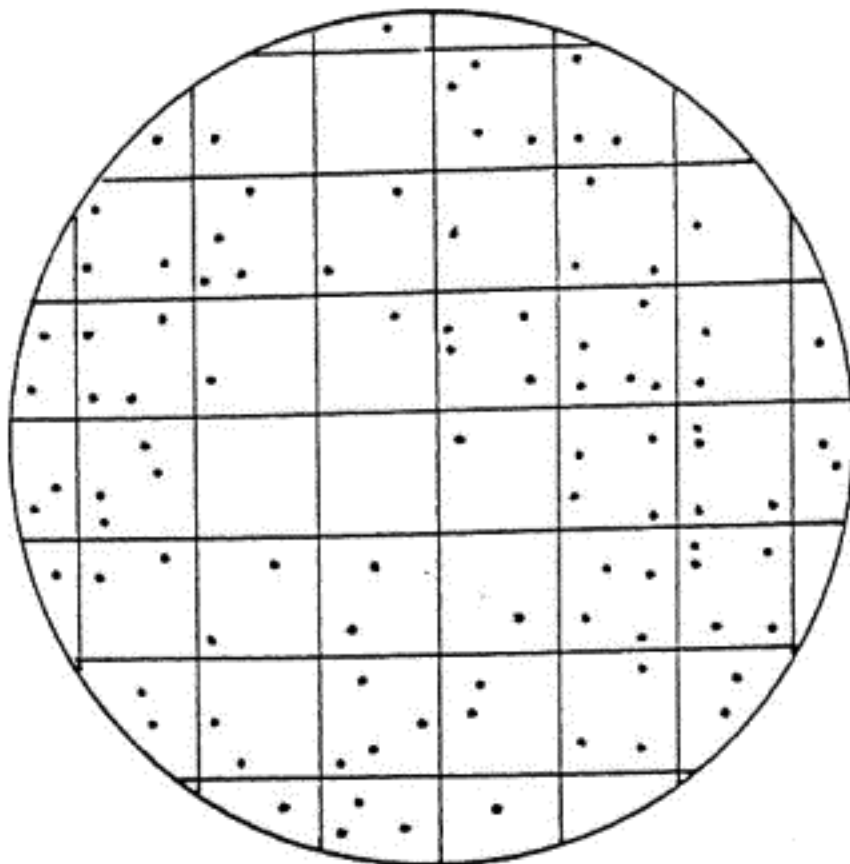
Выборка $\{\mathbf{x}_1, \dots, \mathbf{x}_n\} =: \mathbf{X}_n$ при равномерном распределении \mathbf{x} в \mathcal{Q} имеет п.р. $u(\mathbf{X}_n)$, а МТР п.р. $\delta(r)$.
В PCPc п.р. \mathbf{X}_n в \mathcal{Q}^n равна

$$w(\mathbf{X}_n) = u(\mathbf{X}_n) \prod_{\alpha < \beta} \gamma(r_{\alpha\beta}), \quad \gamma(r) \geq 0, \quad \int_0^\rho \gamma(r) \delta(r) dr = 1.$$

Теорема. Если параметрическая функция $\gamma(r)$ кусочно-постоянная: $\gamma(r) = \gamma_i$ при $\rho_{i-1} < r < \rho_i$, и $\sum \gamma_i \delta_i = 1$, то нормированная гистограмма g_1, \dots, g_k является ОМП для величин $\gamma_1, \dots, \gamma_k$.

Изотропное поле точек со стационарными расстояниями

- Бактерии в чашечке Петри по Феллеру



Прогноз изотропных полей со стационарными расстояниями

- Выборка $\{\mathbf{x}_1, \dots, \mathbf{x}_n\} = \mathbf{X}_n$ с п.р. $w(\mathbf{X}_n)$.

П.р. новой точки \mathbf{x}_{n+1} при известных точках \mathbf{X}_n :

$$h(\mathbf{x}_{n+1} | \mathbf{X}_n) = \frac{w(\mathbf{X}_{n+1})}{w(\mathbf{X}_n)} = c_n \prod_{\alpha=1}^n \gamma(r_{\alpha, n+1}).$$

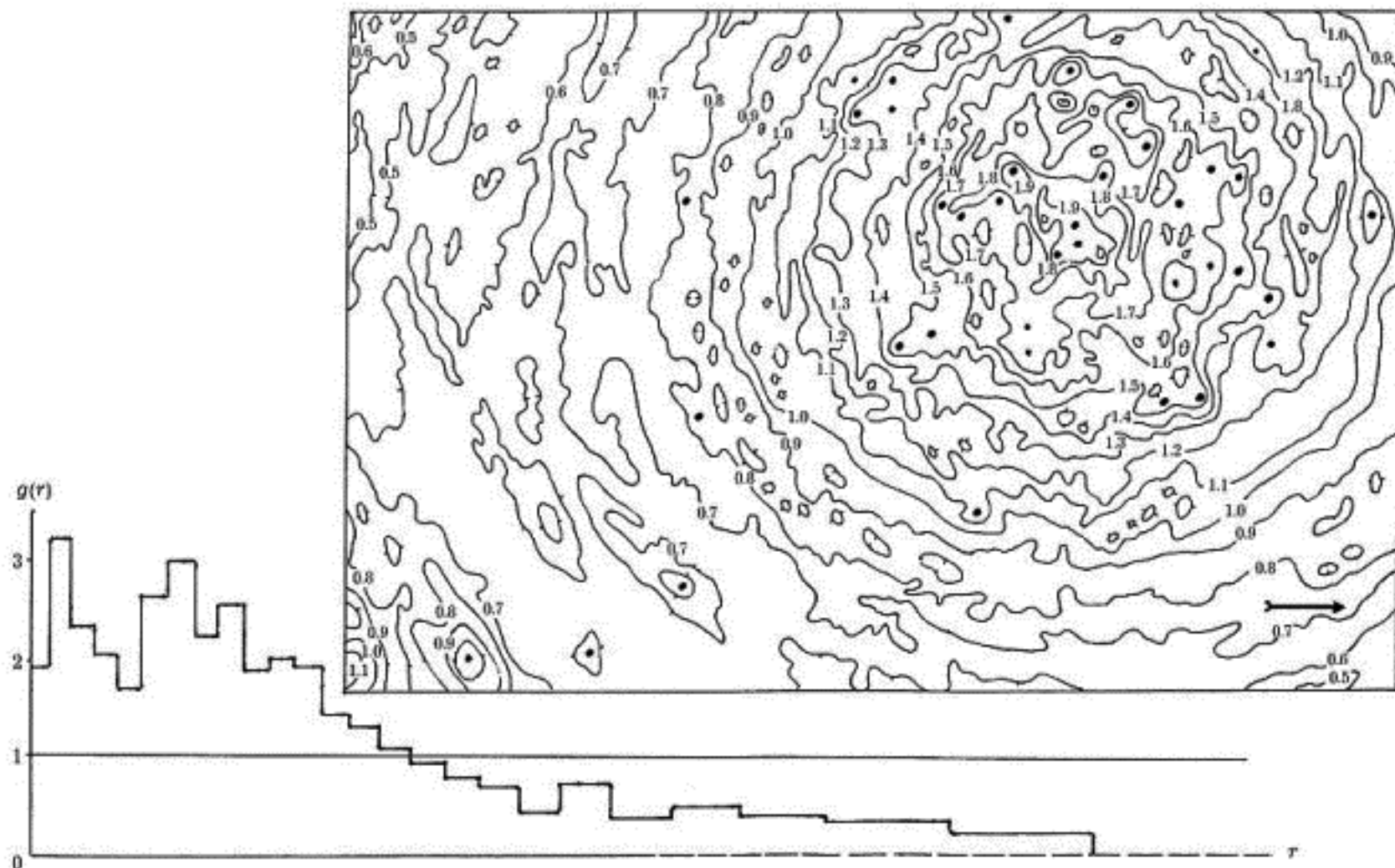
Она достигает максимума там же, где её логарифм

$$\log h(\mathbf{x}_{n+1} | \mathbf{X}_n) = \log c_n + \sum \log \gamma(r_{\alpha, n+1}).$$

Константа $\log c_n$ не зависит от \mathbf{x}_{n+1} , её опустим. Чтобы не зависеть от n , осредним логарифмы и получим прогнозную функцию

$$f(\mathbf{x}_{n+1} | \mathbf{X}_n) = \left[\prod_{\alpha=1}^n \gamma(r_{\alpha, n+1}) \right]^{1/n}.$$

Прогноз кимберлитовых трубок в алмазоносном поле



Анизотропное поле точек со стационарными разностями

- При $p \geq 2$ разности $\mathbf{h}_{\alpha\beta} = \mathbf{x}_\alpha - \mathbf{x}_\beta \in \chi$.

Модель анизотропного поля точек со стационарными разностями строится аналогично. П.р, точек равна

$$w(\mathbf{X}_n) = u(\mathbf{X}_n) \prod_{\alpha < \beta} \gamma(\mathbf{h}_{\alpha\beta}), \quad \gamma(\mathbf{h}) \geq 0, \int_{\chi} \gamma(\mathbf{h}) \delta(\mathbf{h}) d\mathbf{h} = 1,$$

где $\delta(\mathbf{h})$ есть п.р. вектора \mathbf{h} в χ .

Теорема об ОМП справедлива, как и условная п.р.

$$h(\mathbf{x}_{n+1} | \mathbf{X}_n) = w(\mathbf{X}_{n+1}) / w(\mathbf{X}_n) = c_n \prod_{\alpha=1}^n \gamma(\mathbf{h}_{\alpha,n+1}).$$

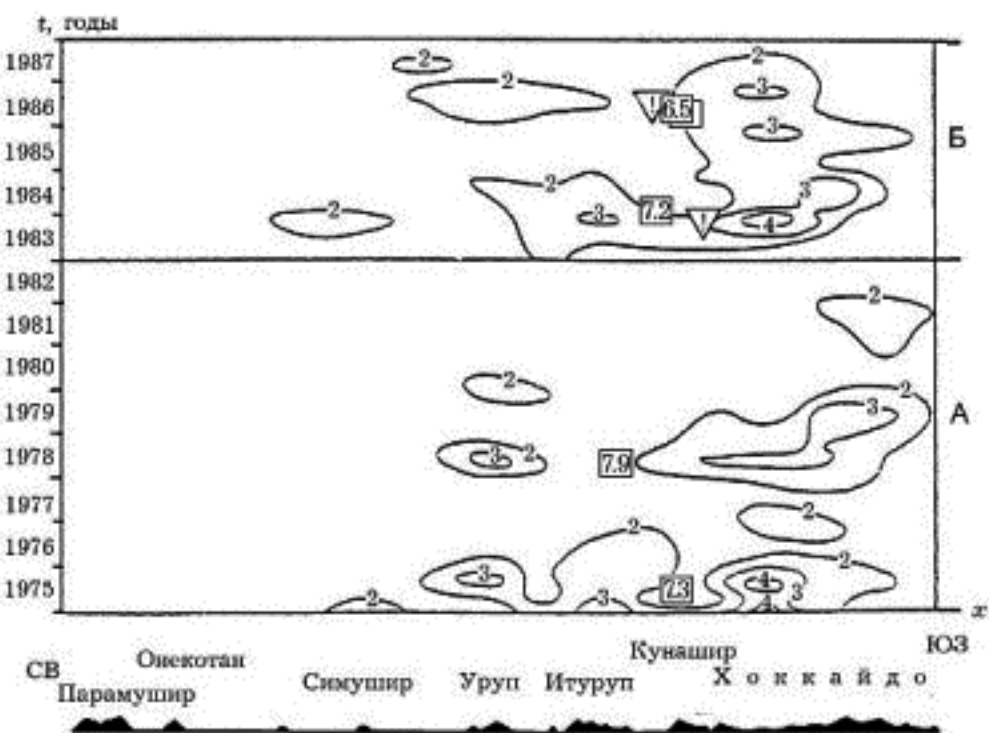
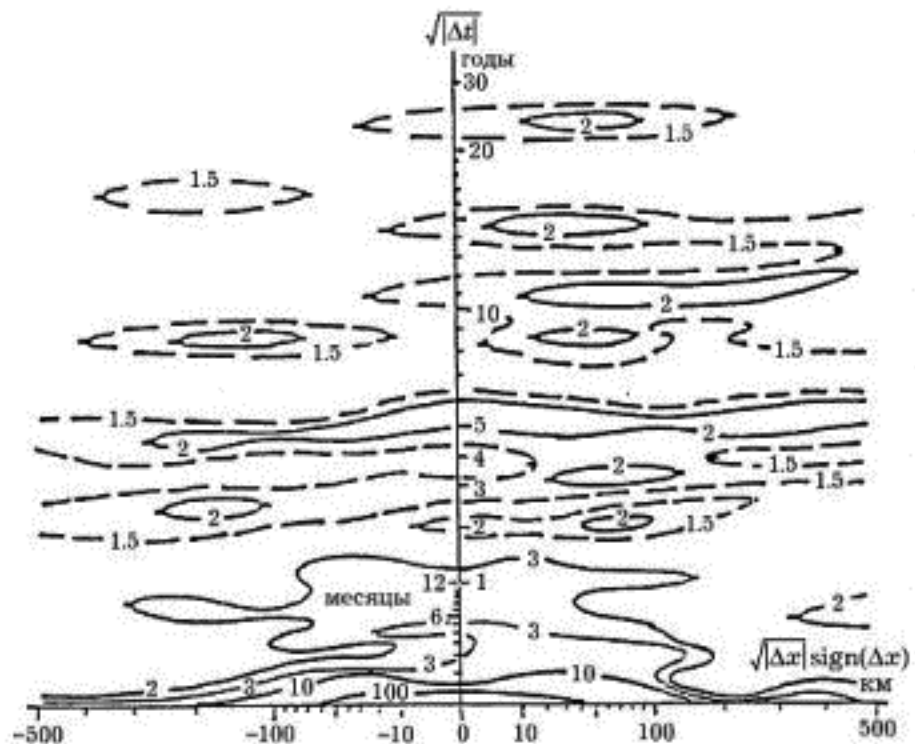
Из неё получаем прогнозную функцию

$$f(\mathbf{x}_{n+1} | \mathbf{X}_n) = \prod_{\alpha=1}^n [\gamma(\mathbf{h}_{\alpha,n+1})]^{1/n}.$$

Курильские острова, 1982

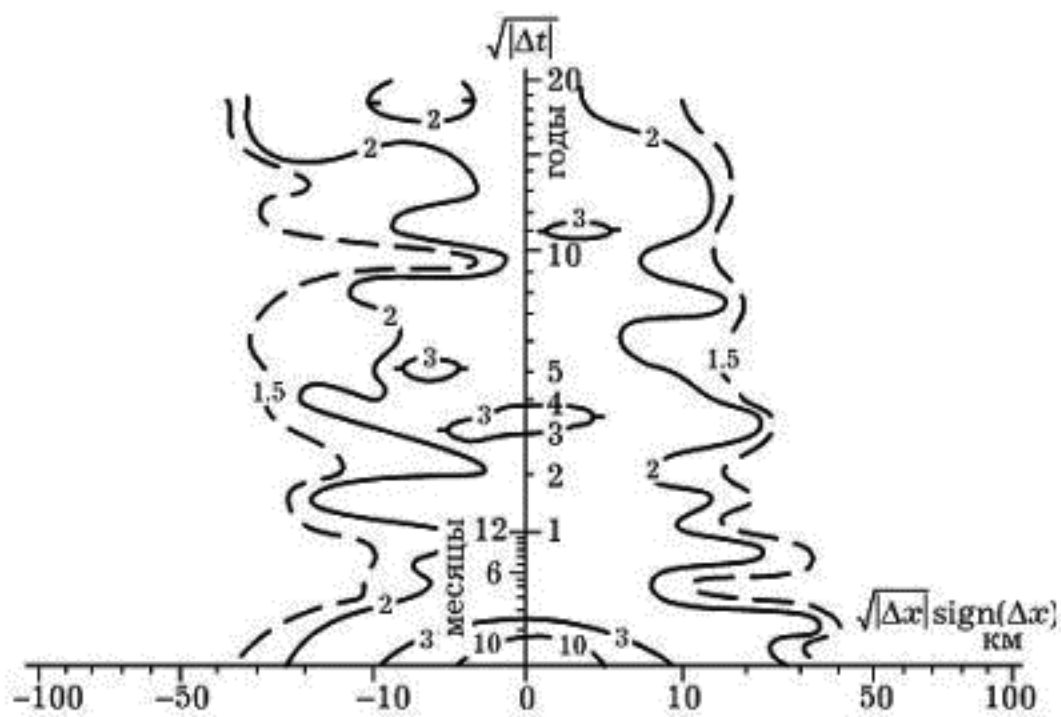
г-функция

прогноз

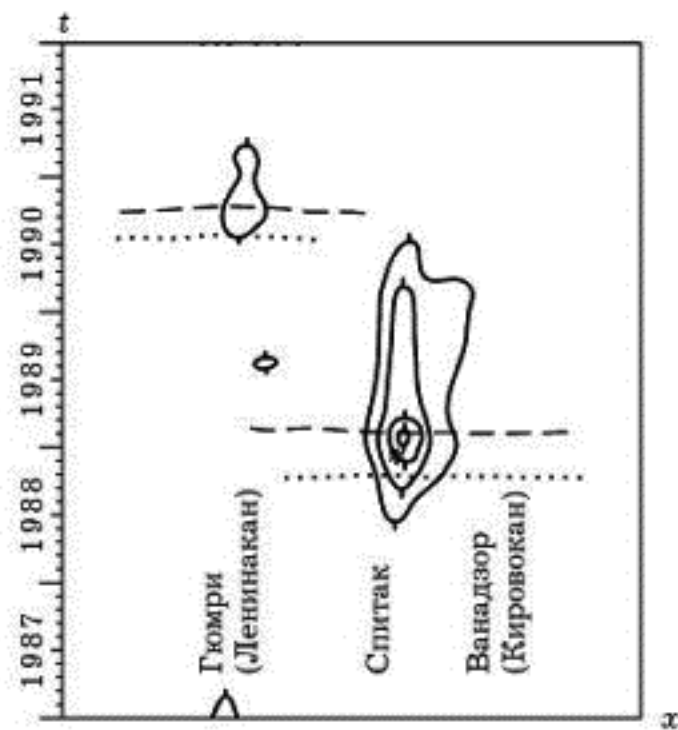


Спитак, 1988

g-функция



ретропрогноз



Личный рекорд

**Директор Ин-та вулканологии акад. С.А.Федотов
Ректору МГУ академику В.А.Садовничему.**

«... 10 декабря 1998 г. А.М.Шурыгин со студентами демонстрировали мне на дисплее компьютера зависящие от времени прогнозные функции для разных зон Камчатки на 1999 г. и обратили внимание на опасность для Петропавловска-Камчатского 8 марта 1999 г.. И именно в этот день там произошли два землетрясения с магнитудами 7,0 и 5,7. Они были сильнейшими землетрясениями на Камчатке за прошедший год. Такая точность сделанного прогноза --- указана дата за три месяца --- является высокой для мировой практики прогноза землетрясений... »

Примеч.: это землетрясение сильнейшее до сих пор!

Некоторые выводы

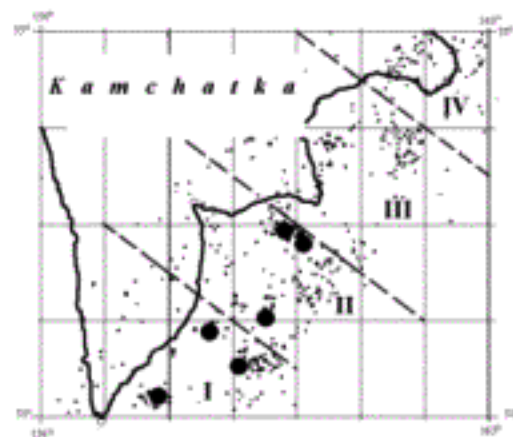
Сильные землетрясения предопределены последовательностью предшествовавших умеренных. Никакие подкоровые движения не могут работать с такой точностью, но может небесная механика, что было ясно после работ Кельвина в XIX веке.

Классическая механика не объясняет механизм образования землетрясений, а Воронков может объяснить, что такое землетрясение.

Приливная теория Ньютона требует коррекции. Можно искать лучшую линейную функцию землетрясений – предикторов.

Internet: www.ccas.ru/cito/eq.

Скользящий нейрон и прогноз сильных землетрясений



Гипотеза:

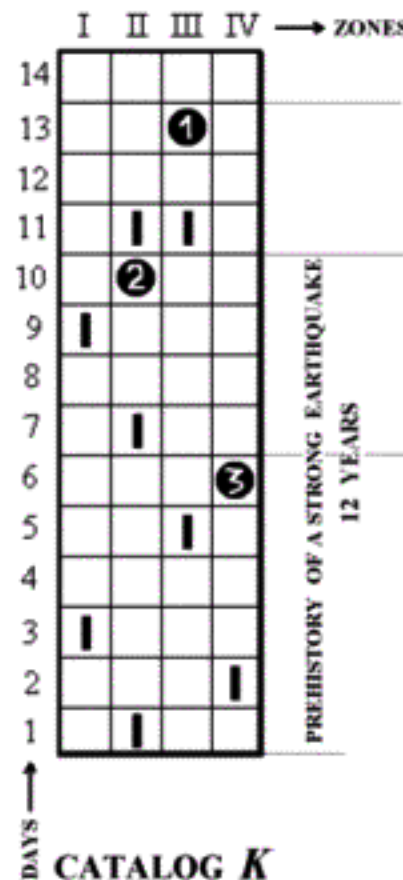
Сильные ЗТя имеют похожую предысторию

Задача:

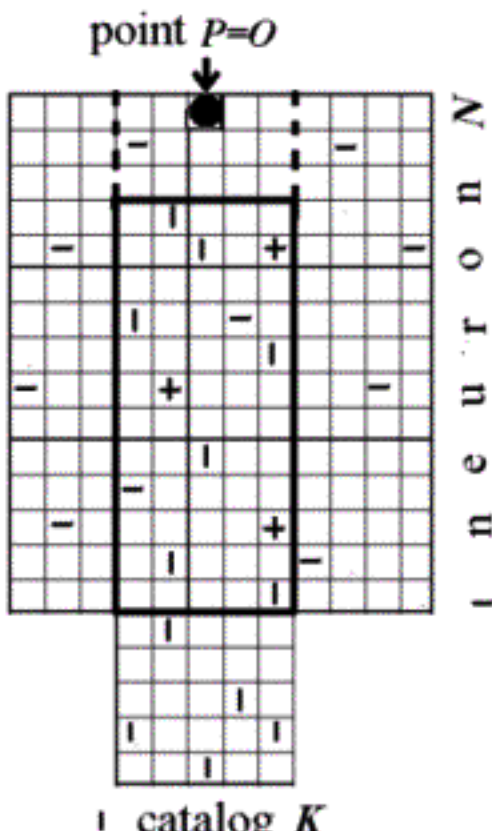
Линейный регион с сильными и умеренными землетрясениями (ЗТ). Предсказать сильные ЗТя по предшествовавшим умеренным.

Простейшее решение.

Множество ЗТий (зона, день) образует булеву матрицу-каталог →



Прогноз в точке скользящим нейроном



Прогнозная функция $d(P) = c \cdot K \otimes N$,

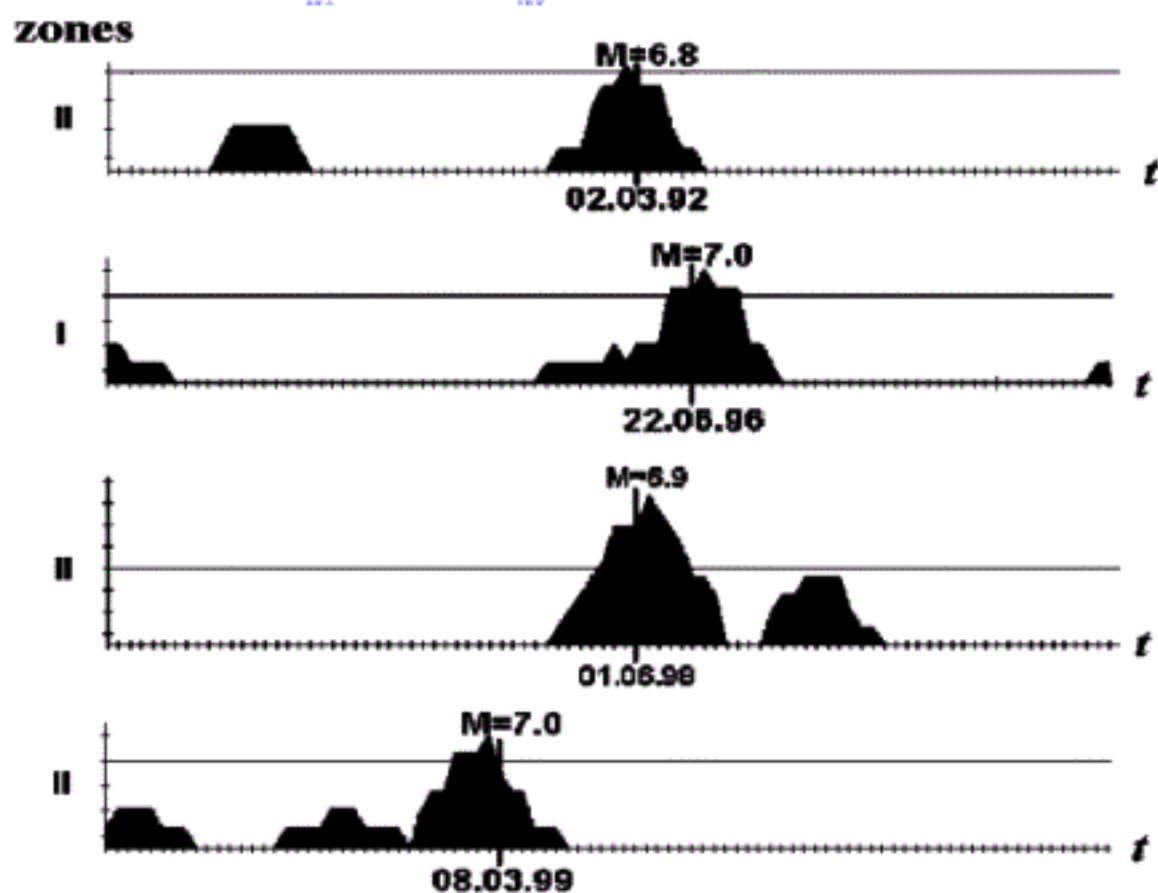
\otimes_w знак скалярного умножения

со скользящим окном w ,
с определяет уровень опасности.
Нейрон скользит точкой О в будущем,
определяя прогнозные функции зон:



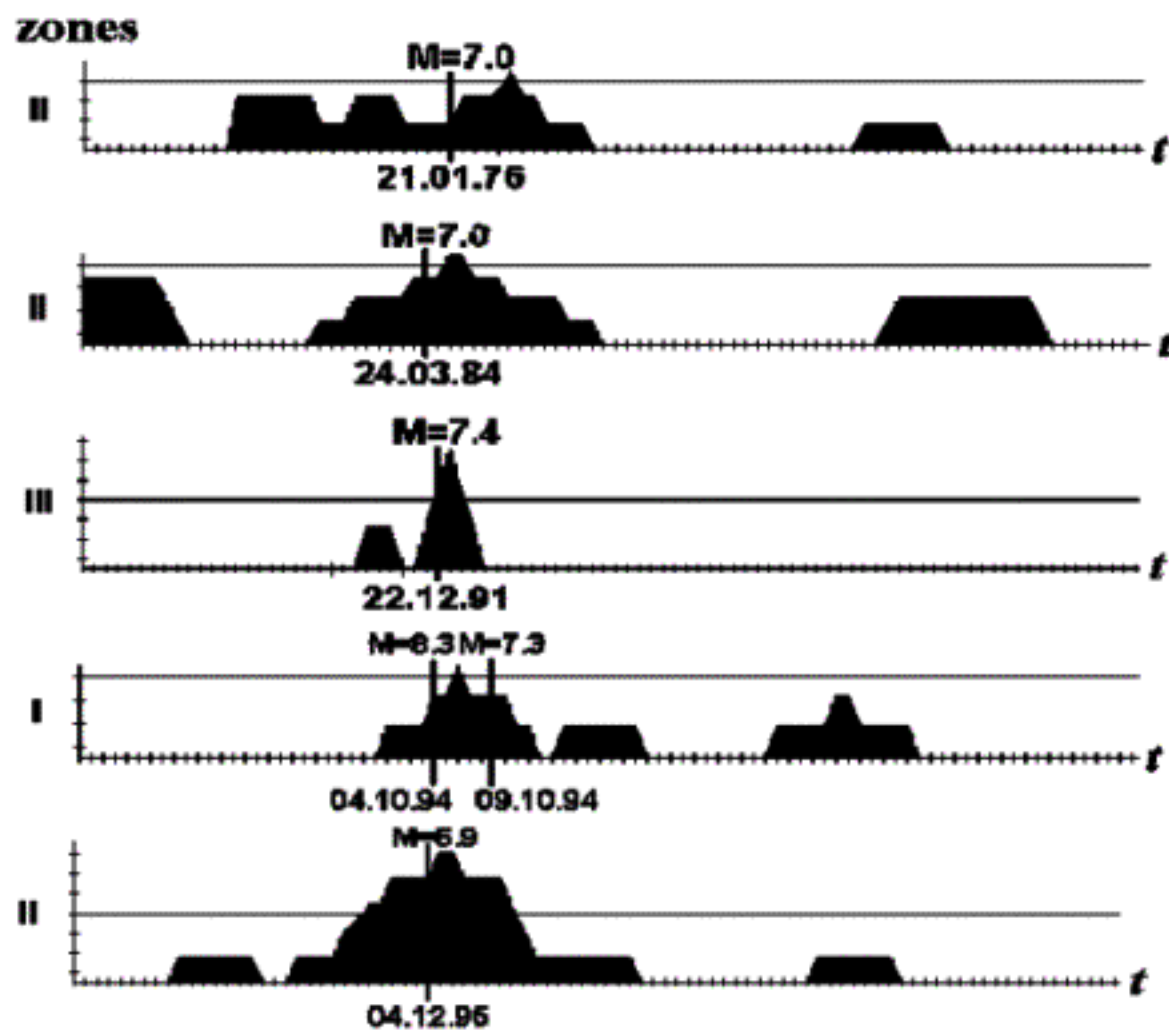
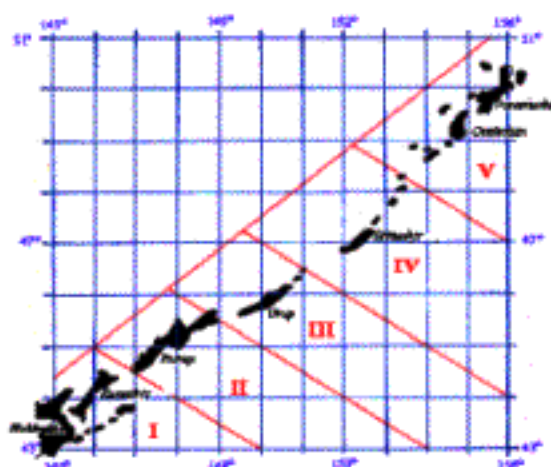
Камчатка:

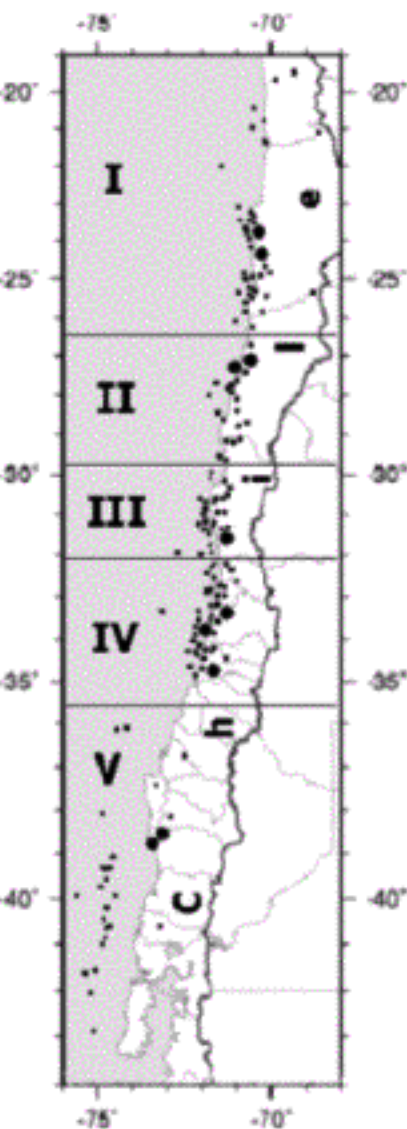
Прогнозные
функции для
предсказуемых
землетрясений.
Горизонтальные
Оси t градуи-
рованы в сутках.



Курильские острова

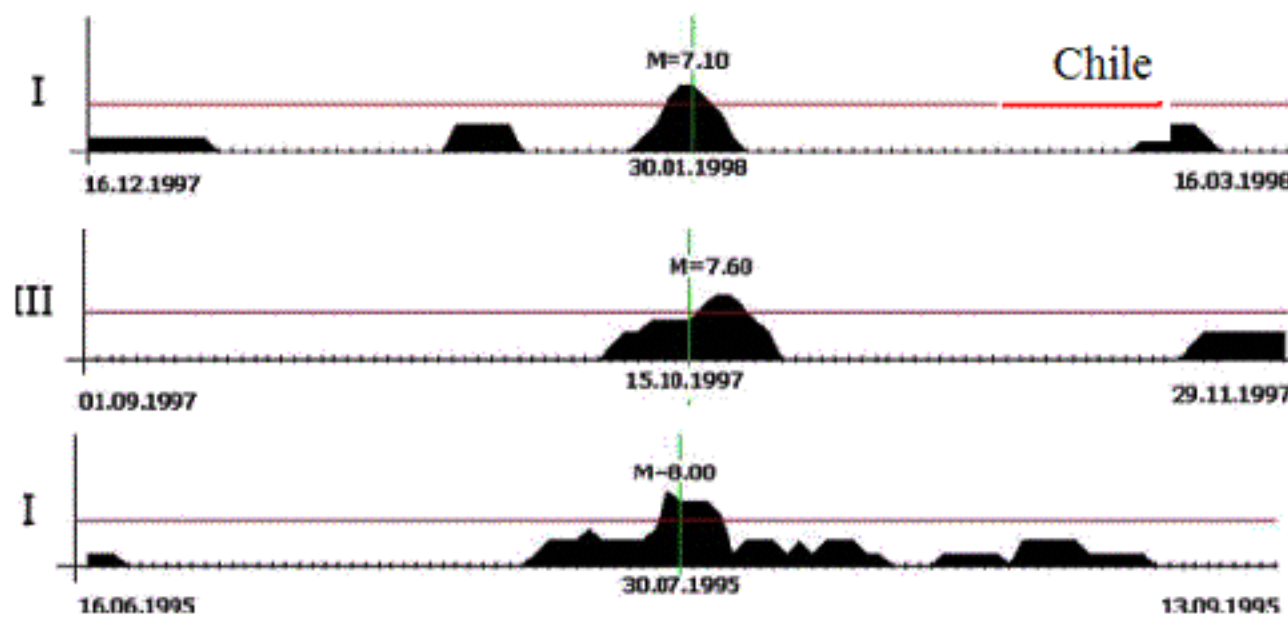
Прогнозные функции для предсказуемых землетрясений.
Горизонтальные Оси t градуированы в сутках.



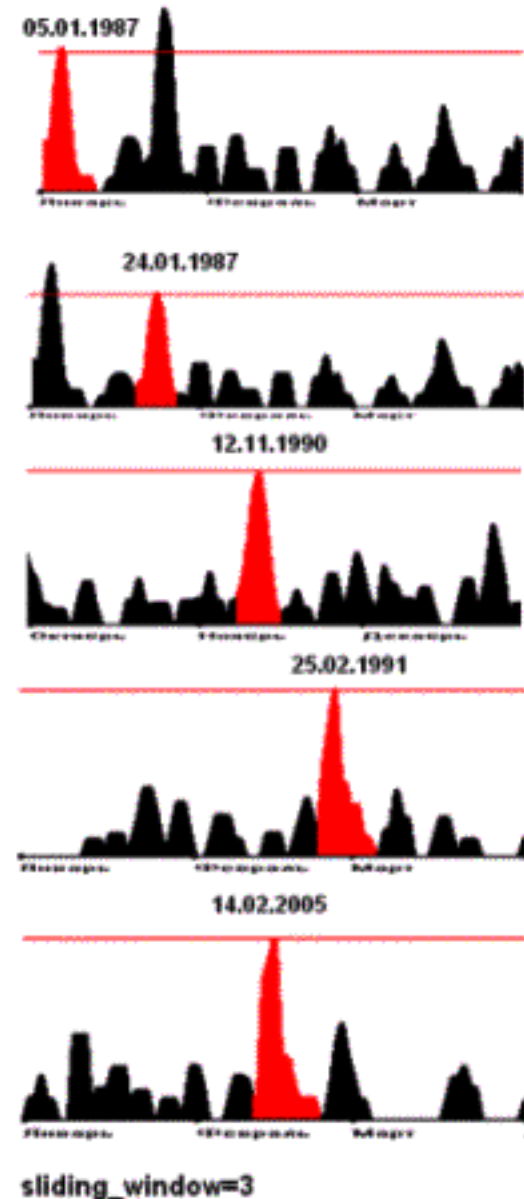
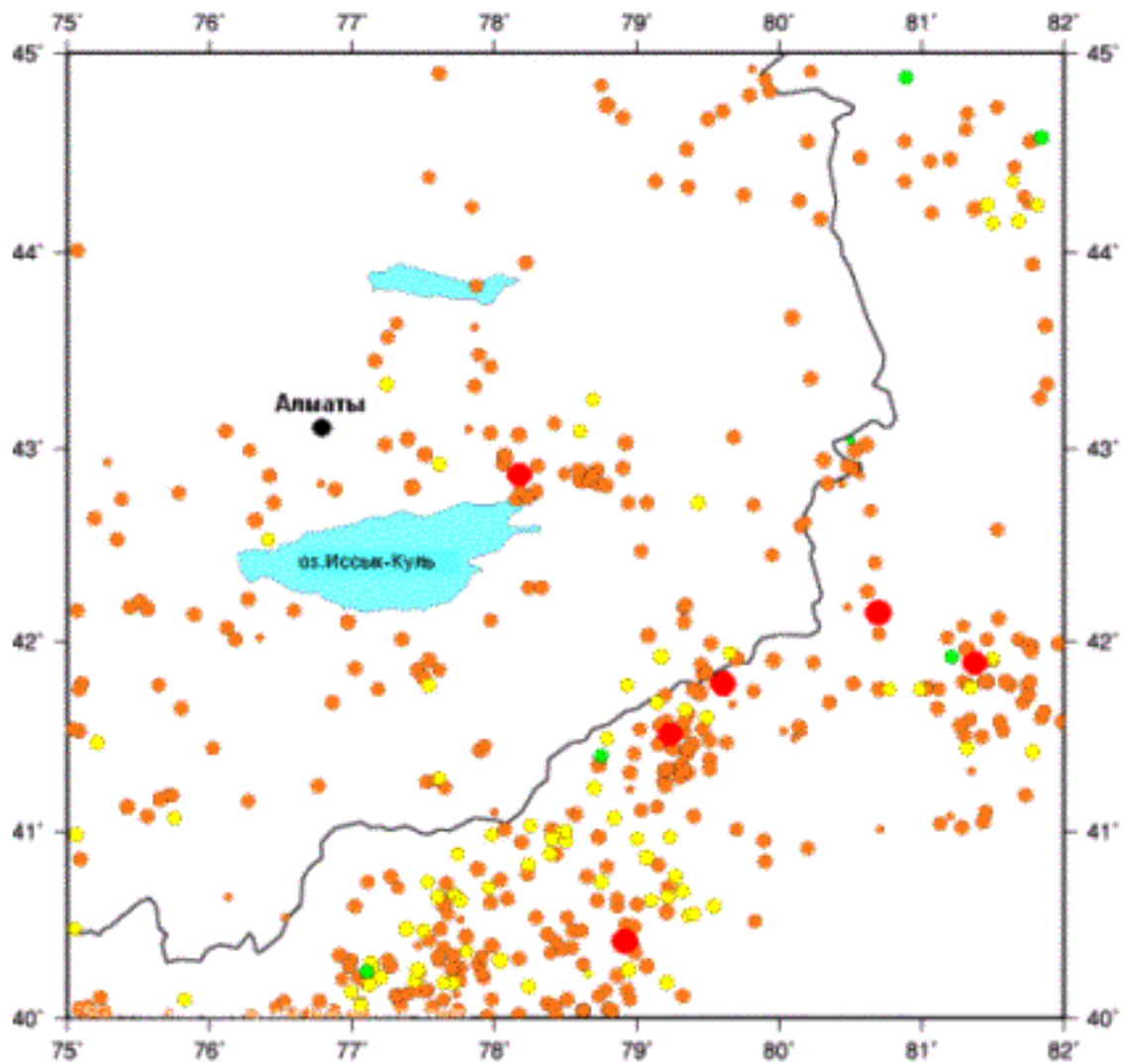


Чили

Прогнозные функции для предсказуемых землетрясений. Горизонтальные оси t градуированы в сутках.



Южный Казахстан



sliding_window=3

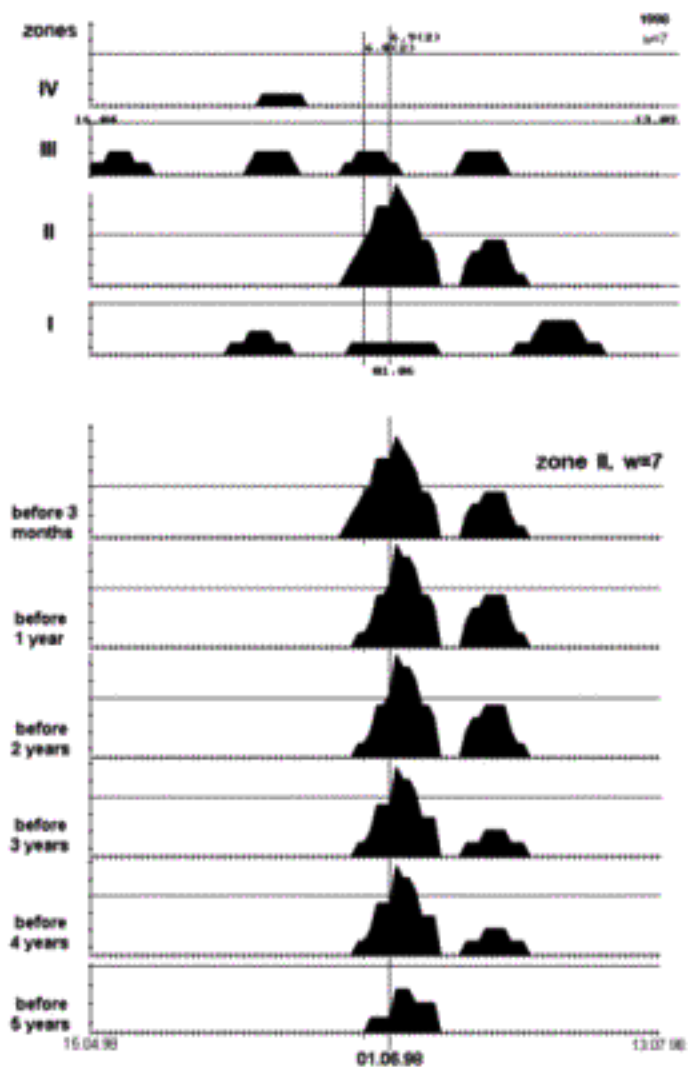
Результаты скользящего экзамена

регион	количество сильных землетрясений	количество прогнозируемых сильных землетрясений	ответственный за регион
Камчатка	6	4	М.Стригунова
Курилы	9	6	
Алеуты	8	6	
Чили	5	4	Т.Крупнова
Ю. Казахстан	6	5	Р.Сатаев

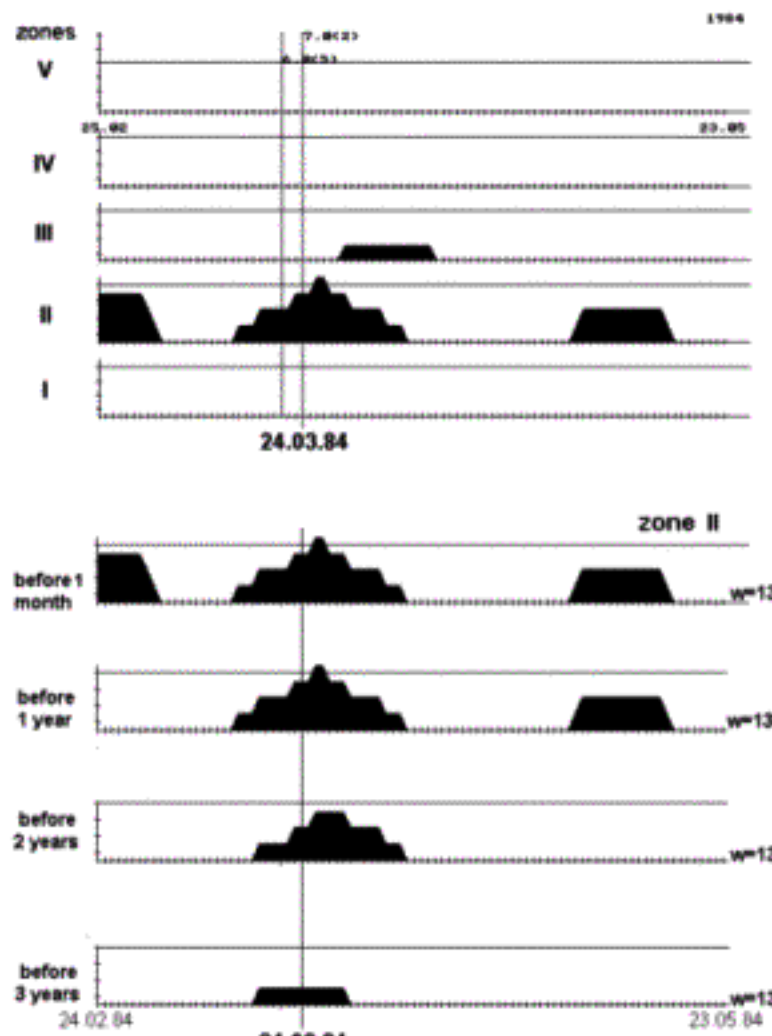
70% сильных ЗТй прогнозируются на скользящем экзамене
Прогноз с точностью до номера зоны.
Максимальная ошибка по времени ± 3 дня.
Нет ложных тревог!

Долгосрочный прогноз

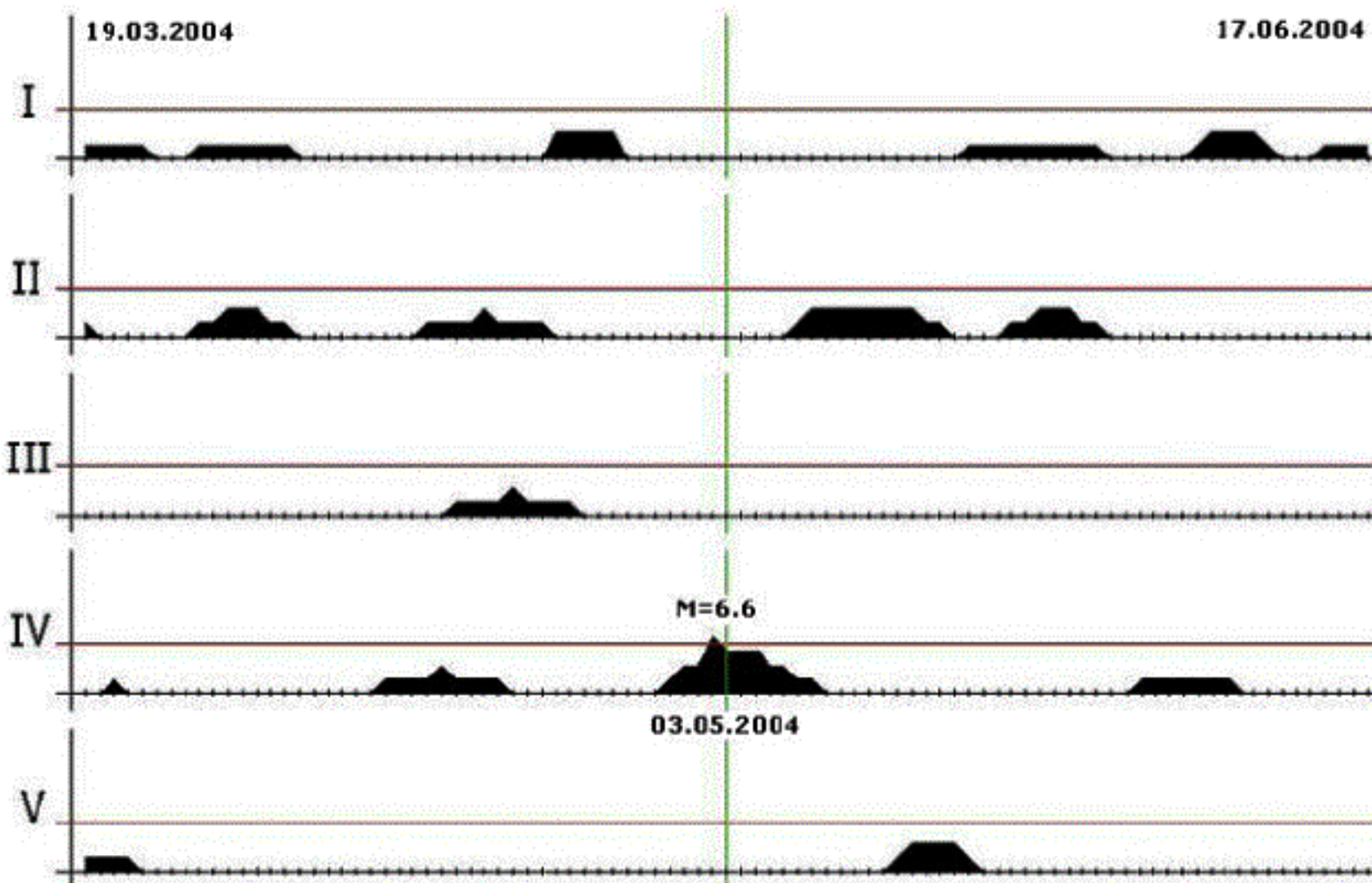
Камчатка



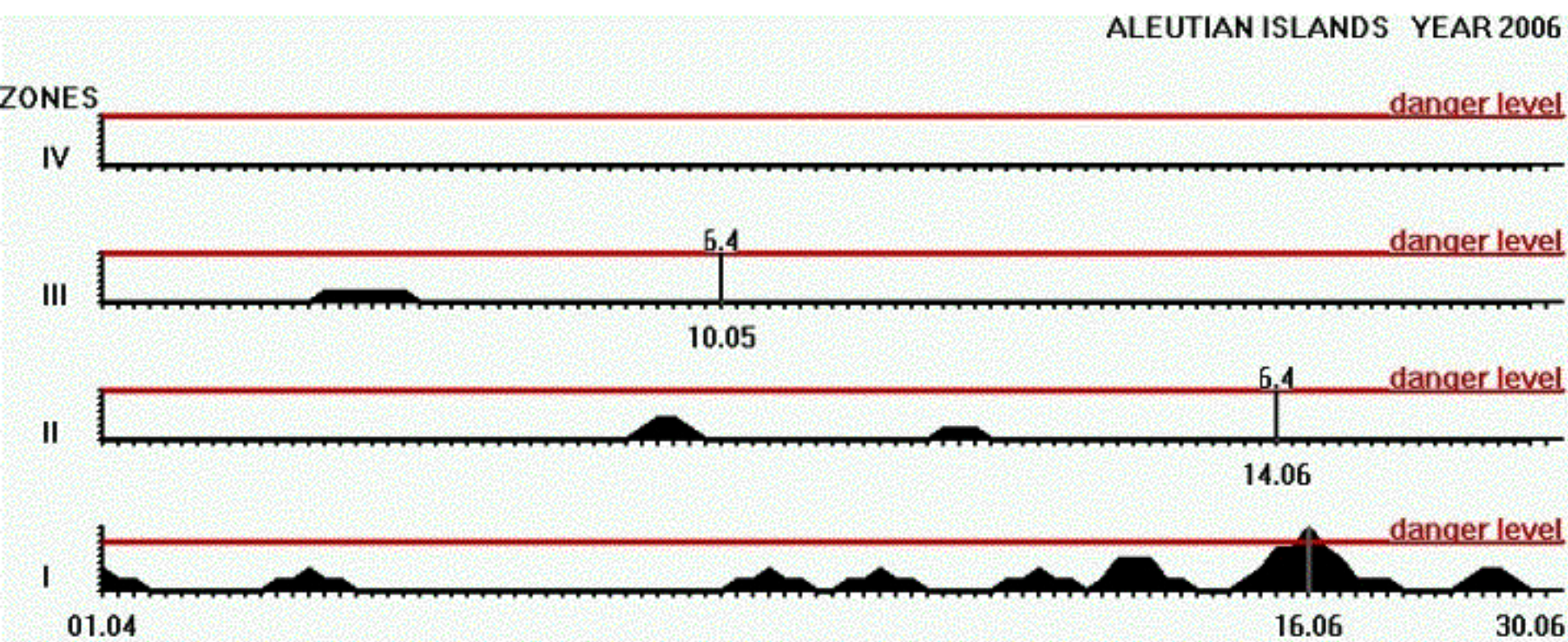
Курильские острова



Землетрясение 03.05.2004 в Чили (по Т.Крупновой)



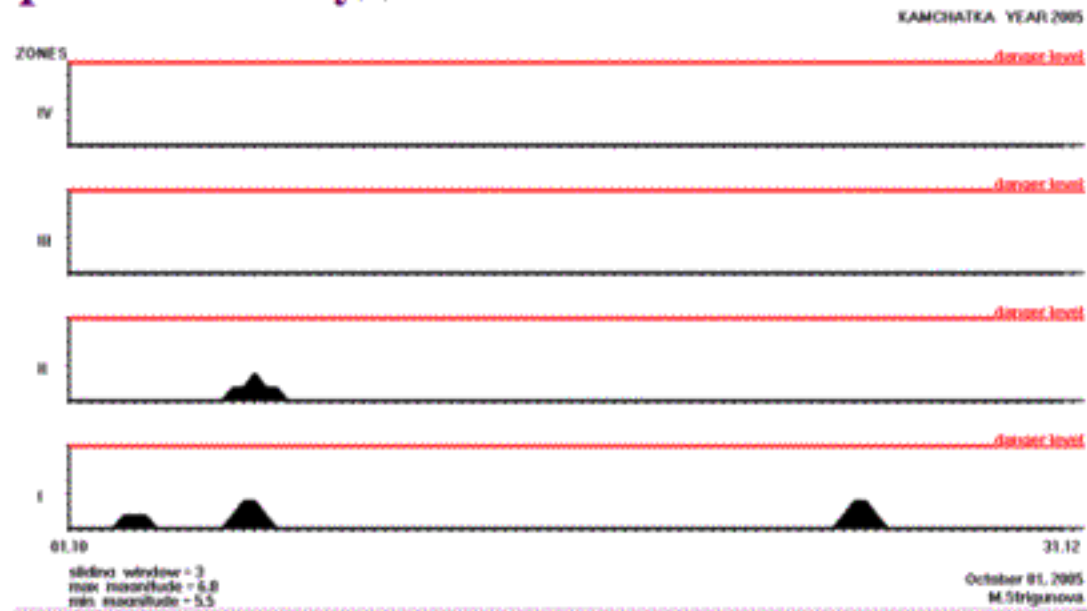
Землетрясение 14.06.2006 на Алеутских островах (по М.Стригуновой)



Дискуссия с МЧС РФ относительно сейсмического прогноза на Камчатке в 2005 году

МЧС в октябре по ТВ: ожидается сильнейшее землетрясение с количеством жертв 60000.

А.М.Шурыгин по «Радио России» на основании прогнозных функций: такого землетрясения не будет.



В 2005 году на Камчатке не было ни сильных, ни умеренных землетрясений.

Оценка плотности распределения

Симметричные п.р. Составляет $f(x) = f(-x)$,
её МТР $h_{\alpha\beta} = x_\alpha - x_\beta$ имеют п.р.

$$\begin{aligned}v(h) &= \int_{\mathbb{R}^1} f(x)f(x-h)dx = \\&= \int_{\mathbb{R}^1} f(x)f(h-x)dx = f * f.\end{aligned}$$

$$F(v) = F(f * f) = [F(f)]^2.$$

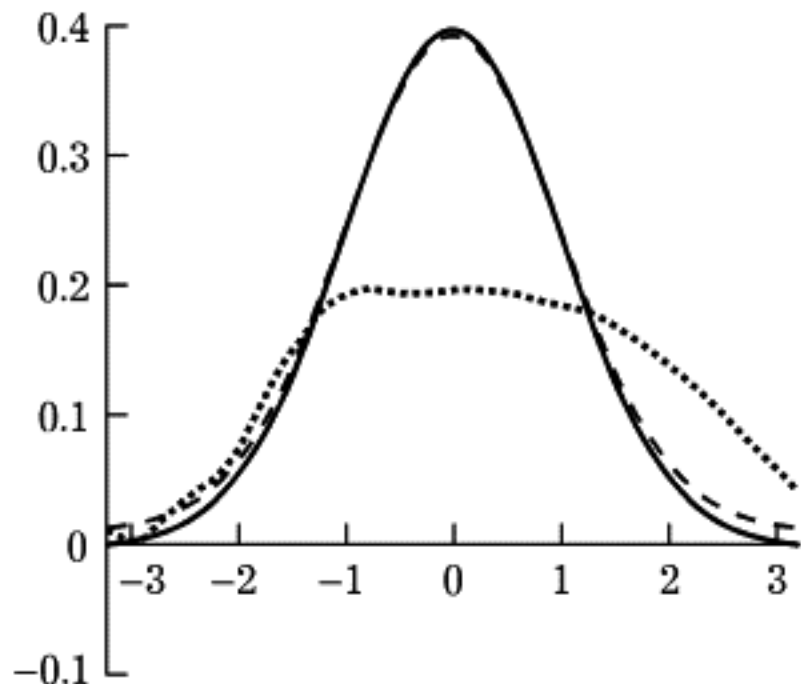
Пусть $F(v) \geq 0$:

$$\sqrt{F(v)} = F(f),$$

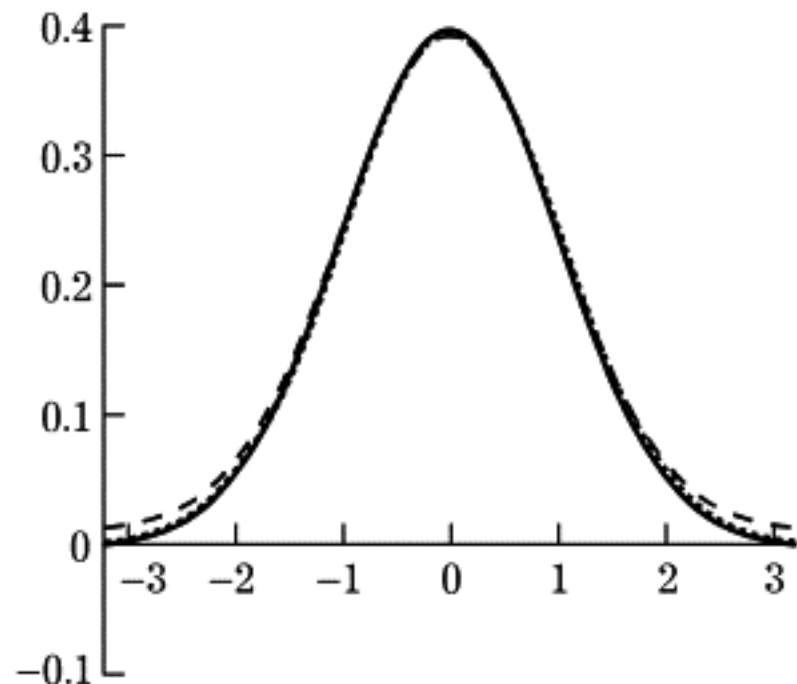
$$F^{-1}[\sqrt{F(v)}] = f.$$

Моделирование гистограмм для нормального распределения

$$n_1 = n_2 = 100$$



$$n_1 = 100, \quad n_2 = 10000$$



МТР в распознавании образов

Теорема. Точки первого класса $\mathbf{x}_1^1, \dots, \mathbf{x}_{n_1}^1 \in Q_1 \subseteq \mathbf{R}^p$ и точки второго класса $\mathbf{x}_1^2, \dots, \mathbf{x}_{n_2}^2 \in Q_2 \subseteq \mathbf{R}^p$ имеют п.р., абсолютно непрерывные относительно меры Лебега. Тогда МТР $r_{\alpha\beta}^{\times} = \|\mathbf{x}_{\alpha}^1 - \mathbf{x}_{\beta}^2\|$, $\alpha = 1, \dots, n_1$, $\beta = 1, \dots, n_2$, асимптотически ($n_1, n_2 \rightarrow \infty$) попарно независимы.

Заметим, что теорема верна и для зависимых точек. Используем теорему для проверки гипотезы о разделимости двух классов.

Проверка разделимости классов

$D_1(r)$ - функция распределения (ф.р.) МТР в I классе,

$D_2(r)$ - ф.р. МТР во II классе,

$D_x(r)$ - ф.р. МТР между классами.

Соответствующие количества МТР обозначим через $m_1, m_2, m_x, m_+ := m_1 + m_2$, а через $D_+(r)$ ф.р. m_+ внутри-классовых МТР. Через D_+^* будем обозначать эмпирические ф.р. Если распределения классов совпадают, то совпадают все ф.р. Если не совпадают, то наибольшая разница будет между D_+ и D_x .

Многомерная задача свелась к одномерной, можно пользоваться критериями согласия, их много.

Критерий Колмогорова-Смирнова

При совпадении распределений величина

$$A_{m_+, m_\times} = \sqrt{\frac{m_+ m_\times}{m_+ + m_\times}} \max_r |D_+^* - D_\times^*|$$

имеет асимптотически ($n \rightarrow \infty$) табулированное распределение Колмогорова.

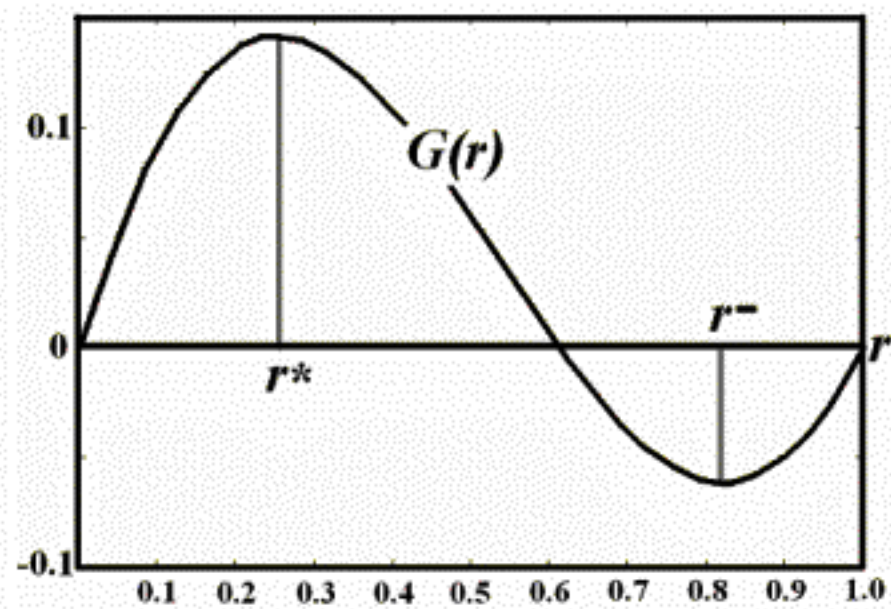
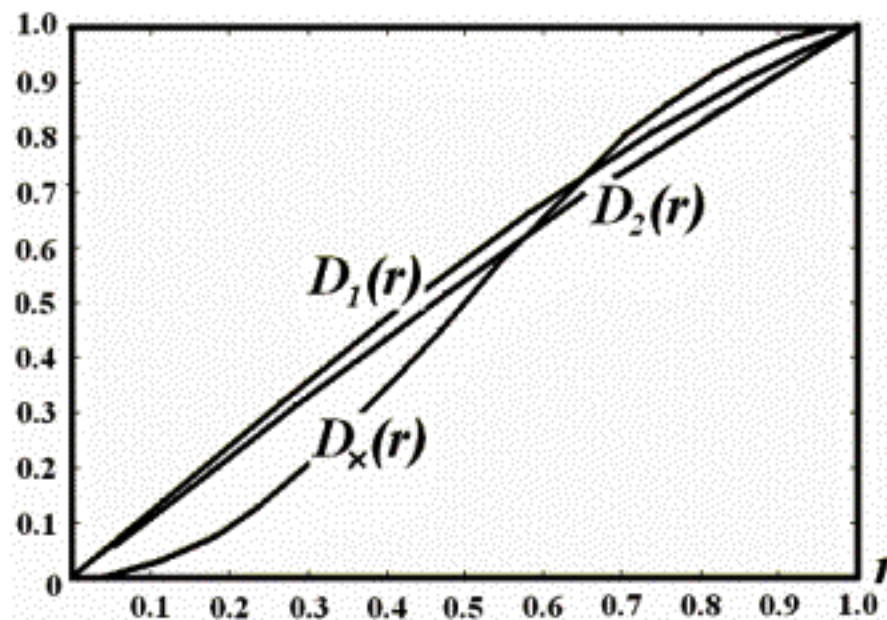
Выбор оптимального радиуса

Классифицируемую точку $\mathbf{x}^?$ сделаем центром шара радиуса r и отнесём её к классу, преобладающему в шаре (прямая классификация) или к другому классу (обратная классификация для чередующихся точек).

Пусть $\mathbf{x}^? = \mathbf{x}^1$. Тогда вероятность того, что следующая точка тоже \mathbf{x}^1 , равна $D_1(r)$, а вероятность того, что она \mathbf{x}^2 , равна $D_x(r)$. Осреднив эти разности по классам, получим функцию

$$G(r) = [D_1(r) + D_2(r)]/2 - D_x(r).$$

Радиус $r^* = \arg \max_r G(r)$ наилучший для деления «компактных» классов, а величину $d = G(r^*)$ можно назвать компактностью классов. Если $|G(r^-)| > G(r^*)$, где $r^- = \arg \min_r G(r)$, то обратная классификация будет более эффективной, чем прямая, она может быть полезной в задачах микробиологии. Величину $d^- = |G(r^-)|$ можно назвать смешанностью классов. Для определённости будем говорить о прямой классификации.



Отбор информативных признаков

Если гипотеза о совпадении распределений отвергается, то полезно избавиться от «шумовых» признаков. Изложенное даёт для этого два способа.

- 1) Максимизировать разобщённость d .
- 2) Максимизировать статистику Колмогорова-Смирнова или другой критерий согласия.

Оценка качества решения

Оценка погрешности $D_x(r^*)$ имеет преимущества перед традиционными методами.

Цепь разнородных импульсов

На окружности импульсы k родов a_1, \dots, a_k в количестве n_1, \dots, n_k , $\sum n_i = n$, $n_i / n = p_i$. Количество переходов от импульса a_i к импульсу a_j обозначим n_{ij} . В **тривиальной цепи разнородных импульсов (ТЦРИ)** импульсы независимы и равномерно распределены на окружности.

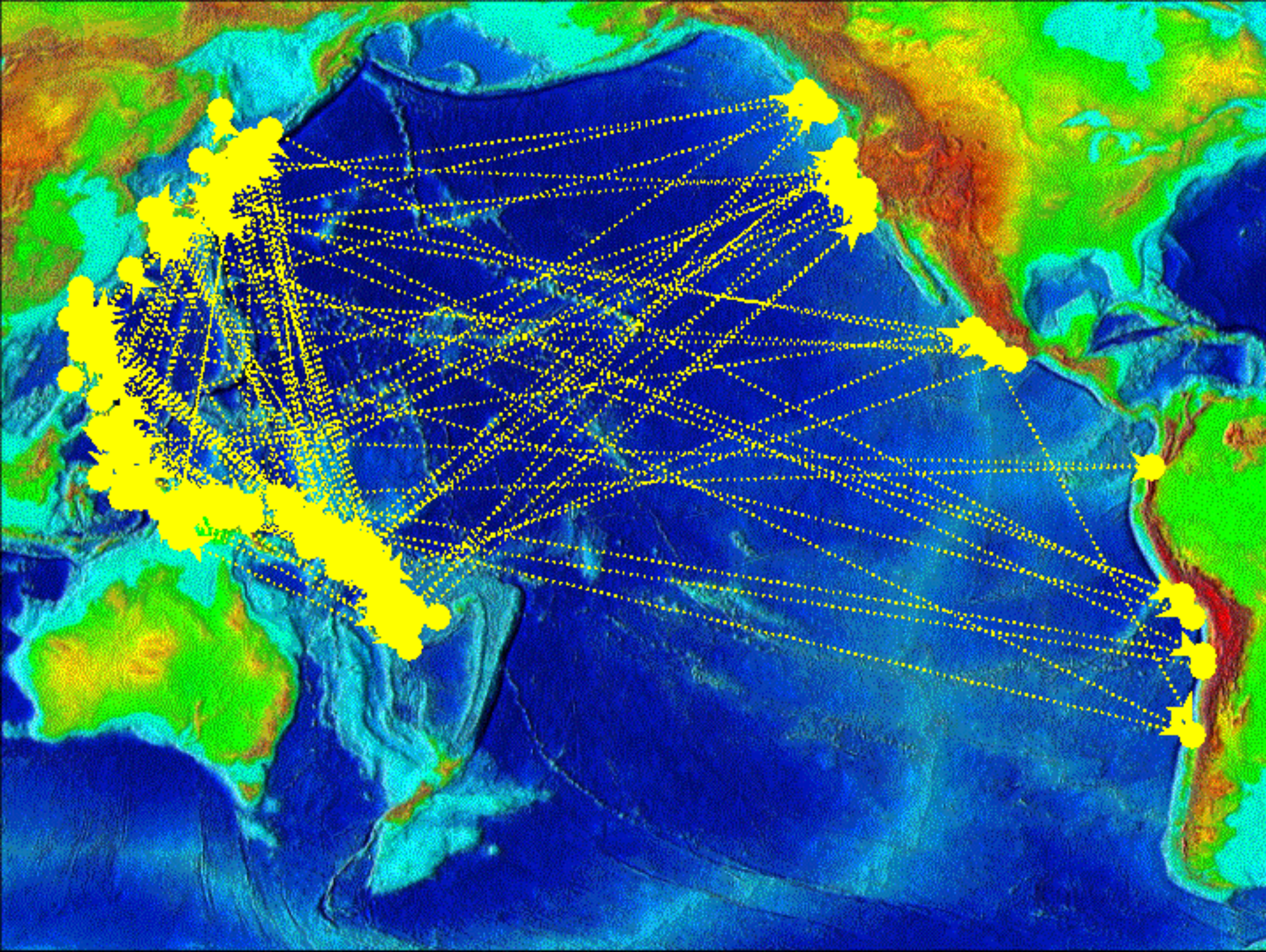
Теорема. В ТЦРИ $E n_{ij} = n_i p_j$,

$$D n_{ij} = n_i p_j (1 - p_j),$$

$$\text{Cov}(n_{ij}, n_{il}) = -n_i p_j p_l \quad \text{при } j \neq l.$$

Если импульсы i -го рода не зависят от остальных, то по критерию Пирсона

$$\sum_{j=1}^k \frac{(n_{ij} - n_i p_j)^2}{n_i p_j} = \chi^2_{k-1}$$



Литература

Шурыгин А.М. Статистика при подсчёте запасов месторождений. Изд. МГУ, 1978

Шурыгин А.М. Прикладная стохастика: робастность, оценивание, прогноз. «Финансы и статистика», 2000

Стригунова М.С., Шурыгин А.М. Скалярное умножение матриц со скользящим окном и прогноз землетрясений. //Автоматика и телемеханика, №7, 2004, с.27-34

<http://www.ccas.ru/cito/eq>